



## Effect of Chemical Processed Barley Grain (*Hordeum vulgare*) Through Steam Infrared Flaking on Productive and Parameters of Ruminal Fermentation in Holstein Lactating Cows

Amir Honarmand <sup>1</sup>, Alireza Vakili <sup>2\*</sup>, Mohsen Danesh Mesgaran <sup>2</sup>, Abdolmansour Tahmasebi <sup>2</sup>

1 and 2- Ph.D. Candidate and Professor, Department of Animal Science, Faculty of Agriculture, Ferdowsi University of Mashhad, Mashhad, Iran, respectively.

\*Corresponding Author's Email: [savakili@um.ac.ir](mailto:savakili@um.ac.ir)

### How to cite this article:

Received: 19-06-2024  
Revised: 21-08-2024  
Accepted: 15-09-2024  
Available Online: 23-04-2025

Honarmand, A., Vakili, A., Danesh Mesgaran, M., & Tahmasebi, A. (2024). Effect of chemical processed barley grain through steam infrared flaking on productive and parameters of ruminal fermentation in Holstein lactating cows. *Iranian Journal of Animal Science Research*, 17(1), 1-19. (in Persian with English abstract).  
<http://doi.org/10.22067/IJASR.2024.88578.1206>

**Introduction:** Barley grain can provide energy and protein to lactating dairy cows; however, feeding high levels of barley grain may increase the risk of developing rumen disorders with extensive consequences for health, welfare and continuity of milk production. Various barley processing (chemically and physically) is critical to prevent ruminal acidosis, enhance digestion, nutrient utilization, and promote productivity. Steam-infrared heated-flaking is a physical-specific process and it impresses on starch gelatinization and protein denaturation which may modify both site and rate of digestion. Treating barley grain with lactic acid have been shown to alter the chemical composition and the nutritional value of treated grains. Barley grains ammonium treatment increased nitrogen content, effective rumen degradable and intestinal digestibility of nitrogen. Plant extract through the selective effect on certain rumen bacteria and the attachment and pattern of their colonization of starchy grain such as barley grain may alter starch degradation.

**Materials and Methods:** To prepare *Acanthophyllum* (Ap) extract, 1 Kg of dried sample was solved in 5 liter distilled water and manually mixed for 48 h at 30 min hiatuses. Barley grains treated with 5% solution of *Acanthophyllum* or 5.6% ammonium bicarbonate, simultaneously treated with 1% lactic acid. Consequently, non-treated and chemically treated barley grain steamed for 50 min. Then, steam cooked grains were exposed under an infrared -heated for 55 seconds to attain surface kernel temperatures of 100°C. Finally, passed through the roller mill in a flaker machine and were flaked. Thus, experimental treatments were: 1) Steam- infrared heated -flaked of barley grain, 2) Steam- infrared heated -flaked of barley grain treated with extract of *Acanthophyllum* and lactic acid, 3) Steam- infrared heated -flaked of barley grain treated with ammonium bicarbonate and lactic acid. This experiment with a 3 × 3 Latin square design were conducted with three rumen-cannulated Holstein cows (average BW: 690± 13, DIM: 96± 9) in three 21-day periods. Productive responses and dry matter intake were evaluated during the last 4 d of each period. Blood sample was collected on day 21 of



©2023 The author(s). This is an open access article distributed under [Creative Commons Attribution 4.0 International License \(CC BY 4.0\)](https://creativecommons.org/licenses/by/4.0/), which permits use, sharing, adaptation, distribution and reproduction in any medium or format, as long as you give appropriate credit to the original author(s) and the source.

<http://doi.org/10.22067/IJASR.2024.88578.1206>

the experimental period before the morning feeding and 2, 4 and 6 h after morning feeding to evaluate the concentration of serum glucose, albumin, total protein and blood urea nitrogen concentration. Acid insoluble ash as an internal marker was used to measure the apparent digestibility of nutrients. The ruminal pH and NH<sub>3</sub>-N concentration were continuously measured.

**Results and Discussion:** Results illustrated that the experimental diets did not affect ( $P > 0.05$ ) on DMI, milk production, FCM and ECM. Milk fat and lactose concentrate were higher in cows fed by the diet containing the steam- infrared heated -flaked of barley grain treated with extract of *Acanthophyllum* and lactic acid and/ or treated with ammonium bicarbonate and lactic acid treatments than the steam- infrared heated -flaked of barley grain treatment ( $P < 0.05$ ). Milk total solid, protein and MUN concentrate were increased in response to fed the steam- infrared heated -flaked of barley grain treated with ammonium bicarbonate and lactic acid compared to the control ( $P < 0.05$ ). Generally, serum BUN concentration was significantly affected by the chemical treating during 2, 4 and 6 h after the morning feeding ( $P < 0.05$ ). The consuming of steam- infrared heated -flaked of barley grain treated with ammonium bicarbonate and lactic acid resulted in increased total blood protein concentration (at 6 h after the morning feeding) in the cows ( $P < 0.05$ ). When the chemical treatment was used, the apparent digestibility of dietary DM, CP and starch was increased in the cows consuming these diets ( $P < 0.05$ ). Ruminal pH and also redoex potential were not affected by treatments and sampling time ( $P > 0.05$ ). In this study, data showed that cows fed the SIFB<sub>LaAb</sub> had greater ruminal NH<sub>3</sub>-N concentration when compared with the other treatments ( $p < 0.05$ ).

**Conclusion:** Feeding chemical treated barley grain with 5% extract of *Acanthophyllum* and/or 5.6% ammonium bicarbonate plus 1% lactic acid did not affect DMI and milk production in dairy cow, but improved the milk composition, with higher milk fat, lactose, protein and total solid. In animals fed chemicallym, treated barley grain the nutrient apparent digestibility, enhanced significantly. The MUN, BUN and ruminal NH<sub>3</sub>-N concentration increased in cows fed the diet with SIFB<sub>LaAb</sub>.

**Keywords:** *Acanthophyllum* extract, Ammonium bicarbonate, Lactic acid, Steam flake

## اثر عمل‌آوری شیمیایی همزمان با فرآوری فیزیکی دانه جو (*Hordeum vulgare*) بر تولید و فراسنجه‌های تخمیر در شکمبه گاوهای شیرده هلشتاین

امیر هنرمند<sup>۱</sup>، سید علیرضا وکیلی<sup>۲\*</sup>، محسن دانش مسگران<sup>۲</sup>، عبدالمنصور طهماسبی<sup>۲</sup>

تاریخ دریافت: ۱۴۰۳/۰۳/۳۰

تاریخ پذیرش: ۱۴۰۳/۰۶/۲۵

### چکیده

هدف از این آزمایش، بررسی اثر عمل‌آوری شیمیایی دانه جو با عصاره آبی ریشه چوبک (*Acanthophyllum*)، بی‌کربنات آمونیوم و اسید لاکتیک همراه با فرآوری فیزیکی بخارپز- امواج مادون قرمز- پولکی بر عملکرد تولیدی، فراسنجه‌های خونی، شکمبه‌ای و قابلیت هضم ظاهری مواد مغذی در گاوهای شیرده بود. این آزمایش در قالب طرح مربع لاتین در سه دوره ۲۱ روزه (هفت روز تغییر جیره، ۱۰ روز عادت‌پذیری و چهار روز نمونه‌گیری) و با استفاده از سه راس گاو فیستولا شده شیرده نژاد هلشتاین انجام شد. تیمارهای آزمایشی عبارت بودند از: ۱) دانه جو بخارپز- امواج مادون قرمز - پولکی بدون هیچ عمل‌آوری شیمیایی ۲) دانه جو بخارپز- امواج مادون قرمز - پولکی عمل‌آوری شده با عصاره ریشه گیاه چوبک و اسید لاکتیک ۳) دانه جو بخارپز- امواج مادون قرمز - پولکی عمل‌آوری شده با بی‌کربنات آمونیوم و اسید لاکتیک. در روزهای نمونه‌گیری، رکورد روزانه تولید شیر، ترکیب شیر شامل چربی، پروتئین، لاکتوز و مواد جامد، فراسنجه‌های خونی (گلوکز، آلبومین، پروتئین کل و نیتروژن اوره‌ای خون در ساعت‌های مختلف پس از مصرف خوراک)، pH شکمبه، نیتروژن آمونیاکی و پتانسیل ردوکس مایع شکمبه و قابلیت هضم ظاهری ماده خشک، پروتئین خام و نشاسته اندازه‌گیری شدند. مصرف ماده خشک، تولید شیر، شیر تصحیح شده براساس انرژی و نیز تصحیح شده براساس ۳/۵ درصد چربی تحت تأثیر تیمارهای آزمایشی قرار نگرفتند. عمل‌آوری‌های شیمیایی، درصد چربی شیر را نسبت به تیمار بدون عمل‌آوری افزایش داد. عمل‌آوری شیمیایی با بی‌کربنات آمونیوم و اسید لاکتیک موجب افزایش درصد پروتئین، مواد جامد و غلظت نیتروژن اوره‌ای شیر در گاوها شد. نیتروژن اوره‌ای خون در ساعت‌های ۲، ۴ و ۶ پس از خوراک‌دهی صبحگاهی تحت تأثیر تیمارهای آزمایشی قرار گرفت و برای تیمار دانه جو عمل‌آوری شده با بی‌کربنات آمونیوم و اسید لاکتیک بیشتر بود. قابلیت هضم ظاهری ماده خشک در تیمار حاوی دانه جو بخارپز- امواج مادون قرمز - پولکی عمل‌آوری شده با عصاره ریشه چوبک و اسید لاکتیک از سایر تیمارها بیشتر بود، این در حالی است که قابلیت هضم ظاهری نشاسته و پروتئین در تیمار دانه جو بخارپز- امواج مادون قرمز - پولکی عمل‌آوری شده با بی‌کربنات آمونیوم و اسید لاکتیک بیشترین بود. به‌طور کلی، pH و پتانسیل ردوکس مایع شکمبه تحت تأثیر تیمارها قرار نگرفتند. غلظت نیتروژن آمونیاکی تحت تأثیر تیمارهای آزمایشی و زمان پس از مصرف خوراک قرار گرفت، و در تیمار دانه جو عمل‌آوری شده با بی‌کربنات آمونیوم و اسید لاکتیک افزایش یافت. نتایج پژوهش حاضر نشان داد که عمل‌آوری شیمیایی دانه جو همراه با فرآوری فیزیکی بخارپز- امواج مادون قرمز - پولکی می‌تواند بر درصد چربی، پروتئین و مواد جامد شیر و همچنین قابلیت هضم ظاهری ماده خشک، پروتئین و نشاسته اثر مثبت گذارد.

**واژه‌های کلیدی:** اسید لاکتیک، بخارپز- پولکی، بی‌کربنات آمونیوم، عصاره چوبک

### مقدمه

از نکات مهم در تغذیه نشخوارکنندگان، پیش‌بینی بهترین عملکرد حیوان بر پایه مواد خوراکی تشکیل‌دهنده جیره و ترکیب مواد مغذی آن‌ها است (Dehghan-Banadaky et al., 2007). دانه جو از رایج‌ترین غلاتی است که در کشور ما برای تغذیه حیوانات مزرعه‌ای (گاو، گوسفند و بز) استفاده می‌شود. دانه جو منبع غنی از نشاسته است

۱ و ۲- به ترتیب دانشجوی دکتری و استاد، گروه علوم دامی، دانشکده کشاورزی، دانشگاه فردوسی مشهد، مشهد، ایران

(Email: [savakili@um.ac.ir](mailto:savakili@um.ac.ir))

\*- نویسنده مسئول:

که در آندوسپرم دانه قرار دارد و بین ۵۴ تا ۷۵ درصد از وزن دانه جو را تشکیل می‌دهد (Chen et al., 2020). نشاسته جو به‌طور معمول حاوی ۲۷ درصد آمیلوز و ۷۳ درصد آمیلوپکتین است (Jacob and Pescatore, 2012). بخش عمده (بین ۸۰ تا ۹۰ درصد) از نشاسته دانه جو به‌سرعت در شکمبه تخمیر می‌شود که ممکن است مشکلات متابولیکی جدی مانند افزایش تولید گاز و کاهش راندمان تخمیر را برای حیوان ایجاد نماید. در نتیجه، نشاسته سریع تجزیه‌شونده اثرات منفی بر محصولات تخمیری شکمبه مانند تولید پروتئین میکروبی دارد (Zebeli et al., 2008). استفاده از اسیدهای آلی و عصاره‌های گیاهی در فرآوری دانه جو از جمله روش‌هایی است که در جلوگیری از اثرات منفی ناشی از مصرف آن و نیز بهبود مسیر تخمیر، مورد توجه قرار گرفته است (Kheirandish et al., 2022). عمل‌آوری شیمیایی غلات با اسید لاکتیک عملی رایج است، زیرا که این اسید آلی کاملاً بی‌ضرر (Inoffensive) بوده و نتایج مطلوبی را به‌دنبال داشته است (Deckardt et al., 2014). جلوگیری از فعالیت آنزیم آمیلاز در اثر فرآوری دانه جو با اسید لاکتیک گزارش شده است که نشان‌دهنده کاهش تجزیه‌پذیری نشاسته در دانه‌های جو عمل‌آوری شده است (Östman et al., 2002). فرآوری دانه جو با عصاره‌های یونجه و چغندر قند منجر به تغییر در میزان و محل هضم نشاسته آن می‌شود (Naseroleslami et al., 2018). عصاره‌های گیاهی با اثر انتخابی روی برخی از باکتری‌های شکمبه بر نحوه اتصال و الگوی کلونیزاسیون آن‌ها و همچنین سوبسترا غنی از نشاسته تاثیر گذاشته و در نتیجه، روی هضم آن‌ها اثر می‌گذارند (Hart et al., 2008). گیاه چوبک (*Acanthophyllum Caryophyllaceae*) منبع غنی از ساپونین است و دارای خصوصیت شویندگی است، همچنین به‌عنوان یک فعال‌کننده سطحی شناخته می‌شود (Dabestani et al., 2021). علاوه بر موارد ذکر شده بالا، عمل‌آوری شیمیایی با ترکیبات آمونیوم دار علاوه بر افزایش غلظت پروتئین خام، منجر به تغییر میزان تجزیه نشاسته و پروتئین در شکمبه و همچنین افزایش عملکرد حیوان می‌شود (Humer and Zebeli, 2017). فرآوری فیزیکی غلات انواع مختلفی دارند که در بین آن‌ها فرآوری بخارپز-پولکی (Steam-flaking)، روشی مطمئن بوده که با افزایش سطح تماس در دانه و نیز آسیب به ماتریکس پروتئینی پیرامون گرانول‌های نشاسته، قابلیت دسترسی و هضم را افزایش می‌دهد (Plascencia et al., 2018). استفاده از یک فرآوری حرارتی مانند به‌کارگیری امواج حرارتی مادون قرمز (Micronizing) به همراه روش بخارپز-پولکی (به‌عنوان تکمیل‌کننده) می‌تواند بیشینه استفاده از مواد مغذی توسط ریزجانداران شکمبه و دام را در پی داشته باشد (Ebrahimi, 2020). فرآوری فیزیکی غلات، پتانسیل تولید شیر و قابلیت هضم مواد مغذی به‌ویژه نشاسته را افزایش می‌دهد، همچنین با تغییر pH و نسبت اسیدهای چرب فرار شکمبه‌ای بر سلامت متابولیکی حیوان اثر می‌گذارد

(Malekhhahi et al., 2021). فرآوری شیمیایی با تغییر میزان هضم نشاسته در شکمبه بر قابلیت جذب آمونیاک شکمبه توسط ریزجانداران اثر گذاشته و بازدهی استفاده از نیتروژن را تحت تاثیر قرار می‌دهد (Naseroleslami et al., 2022). با توجه به اثرات مفید فرآوری‌ها بر نشاسته غلات این‌گونه بیان شده است که عبور (Bypass) نشاسته از شکمبه و جذب آن در روده کوچک علاوه بر اینکه گلوکز بیشتری را برای حیوان فراهم می‌کند، یک پیش‌ساز مهم برای لاکتوز بوده و احتمالاً اسیدهای آمینه را برای اهدافی غیر از ساخت پروتئین همانند اکسیداسیون و گلوکونئوزن ذخیره می‌کند (Naseroleslami et al., 2022) که تمامی این موارد بر تولید و ترکیب شیر اثرگذار است. هدف از مطالعه حاضر، انجام عمل‌آوری شیمیایی دانه جو با اسید لاکتیک، بی‌کربنات آمونیوم و یا عصاره گیاهی چوبک همراه با فرآوری فیزیکی بخارپز-امواج مادون قرمز-پولکی بر مقدار پروتئین دانه جو و هضم‌پذیری آن و نیز مقدار و میزان هضم نشاسته و تاثیر آن بر وضعیت تخمیری شکمبه، تولید و ترکیب شیر و برخی از فراسنجه‌های خونی می‌باشد. انجام همزمان هر دو نوع فرآوری روی دانه جو به‌عنوان یک روش جدید، می‌تواند امکان استفاده از آن در جیره گاوهای شیری را به حداکثر برساند که این امر در کاهش اثرات منفی بیماری‌های متابولیکی ناشی از مصرف جو و نیز افزایش سودآوری گله مؤثر می‌باشد.

## مواد و روش

### عمل‌آوری شیمیایی و فرآوری فیزیکی دانه جو

دانه‌های جو استفاده شده در این آزمایش از نوع وارداتی از کشور قزاقستان بود. مقدار غلظت مواد مغذی (گرم در کیلوگرم) دانه‌های جو خام اولیه عبارت بودند از: ماده خشک = ۹۲۴، پروتئین خام = ۱۱۶، دیواره سلولی (NDF) = ۲۰۴، دیواره سلولی بدون همی‌سلولز (ADF) = ۷۳ و نشاسته = ۵۴۹ گرم در کیلوگرم. عصاره ریشه گیاه چوبک<sup>۱</sup> (Ap) با روش خیساندن در آب مقطر به‌دست آمد. ریشه گیاه چوبک از شهرستان بیرجند تهیه و در پژوهشکده علوم گیاهی دانشگاه فردوسی مشهد اصالت آن تأیید گردید. ابتدا مواد خارجی از آن‌ها جدا شد، سپس با نسبت یک به پنج با آب مقطر مخلوط شدند و به‌مدت ۴۸ ساعت خیسانده و به‌فاصله هر ۳۰ دقیقه یک‌بار هم زده شدند. پس از صاف کردن، محلول به‌دست آمده ۶۰ دقیقه روی شعله ملایم قرار گرفتند تا غلیظ شوند، پس از سرد شدن جهت عمل‌آوری دانه‌های جو استفاده شد. بی‌کربنات آمونیوم<sup>۲</sup> (Ab) از شرکت فجر پارسیان تهیه شد. همچنین از اسید لاکتیک (La) با خلوص ۸۵ درصد در عمل‌آوری دانه جو استفاده گردید. به منظور عمل‌آوری، در یک

1- *Acanthophyllum* (Ap)

2- Ammonium Bicarbonate

جیره کاملاً مخلوط (TMR) در سه نوبت و در حد اشتها تغذیه شدند و دسترسی آزاد به آب نیز داشتند. خوراک روزانه در ساعت‌های ۶، ۱۴ و ۲۲ داده می‌شد. در روز بعد و قبل از خوراک‌دهی صبح، پس‌مانده خوراک روز قبل جمع‌آوری می‌گردید. تعداد دفعات دوشیدن در این گاوها دو بار در روز و در ساعات ۶ صبح و ۶ بعدازظهر انجام گرفت.

### اندازه‌گیری مصرف خوراک، غلظت مواد مغذی، تولید و ترکیب شیر

در روزهای نمونه‌برداری، از خوراک تازه همان روز و باقی‌مانده خوراک روز قبل، ۵۰۰ گرم نمونه تهیه و در فریزر ۲۰- درجه سانتی‌گراد نگهداری شد. نمونه‌های خوراک و باقی‌مانده در طول چهار روز به‌ازای هر گاو با هم مخلوط و یک نمونه جهت آنالیز استفاده شد. اندازه‌گیری پروتئین خام با روش کج‌دال، الیاف نامحلول در شوینده خنثی (دیواره سلولی، NDF) و الیاف نامحلول در شوینده اسیدی (دیواره سلولی بدون همی‌سلولز، ADF) براساس روش ون سوست و همکاران (Van Soest et al., 1991) و نشاسته توسط روش رز و همکاران (Rose et al., 1991) و با استفاده از پرکلریک اسید و معرف آنترن اندازه‌گیری شد. در طول دوره نمونه‌برداری، رکورد روزانه تولید شیر گاوها ثبت و از هر وعده شیردوشی نمونه‌گیری شد و بعد از مخلوط کردن نمونه‌های هر وعده براساس میزان تولید و افزودن دی‌کرومات پتاسیم به آن‌ها جهت اندازه‌گیری ترکیب شیر (چربی، پروتئین، لاکتوز و مواد جامد شیر) به آزمایشگاه ارسال شد. اندازه‌گیری ترکیبات توسط دستگاه لاکتو اسکوپ (LactoScope™ FT-B Milk Analyzer) ساخت کشور آمریکا انجام شد. اندازه‌گیری نیتروژن اوره‌ای شیر به‌وسیله دستگاه میلو اسکن (FOSS Analytical, Hillerød, Denmark) ساخت کشور دانمارک انجام شد.

### اندازه‌گیری فراسنجه‌های خونی

به‌منظور اندازه‌گیری فراسنجه‌های بیوشیمیایی خون، نمونه قبل از خوراک‌دهی صبحگاهی، دو، چهار و شش ساعت پس از مصرف خوراک، از ورید گردن با استفاده از سوزن ونوجکت و لوله‌های حاوی EDTA اخذ شد. نمونه‌ها به‌مدت ۱۵ دقیقه با دور ۵۰۰۰g سانتریفیوژ شده و سرم آن جهت آنالیز به میکروتیوپ منتقل و در فریزر با دمای ۸۰- درجه سانتی‌گراد نگهداری شد. مقادیر گلوکز، آلبومین، پروتئین کل و نیتروژن اوره‌ای خون (BUN) با استفاده از کیت‌های شرکت پارس آزمون و دستگاه (BS-800M Modular System) (MINDRAY GLOBAL, China) اندازه‌گیری شدند.

وان پلاستیکی، ۵۰۰ کیلوگرم دانه جو الک شده ریخته شد و به مقدار پنج درصد از وزن آن‌ها، عصاره آبی ریشه چوبک به آن‌ها اضافه شد و با پارو کاملاً مخلوط گردید، همچنین در این حین به مقدار یک درصد از وزن دانه‌ها، اسید لاکتیک به دانه‌ها اسپری شد. در تیمار بی‌کربنات آمونیوم بعد از اینکه پنج درصد وزن دانه‌ها، آب اضافه شد و با پارو شروع به مخلوط کردن شد، همچنین در این حین به‌صورت لایه‌ای ۵/۶ درصد وزن دانه بی‌کربنات آمونیوم و نیز یک درصد اسید لاکتیک به دانه‌های جو اضافه شد. برای شاهد نیز فقط قبل از قرارگیری در محفظه بخار به‌میزان ۱۰ درصد وزن دانه به آن‌ها آب افزوده شد. دانه‌های جو بلافاصله بعد اضافه کردن انواع افزودنی‌های ذکر شده، با بالابر به درون محفظه بخار رفته و در بخار اشباع با دمای ۹۶ درجه سانتی‌گراد به‌مدت ۵۰ دقیقه مورد پخت واقع شدند. بلافاصله پس از خروج از محفظه بخار در دستگاه میکروناویزر فرآوری صورت گرفت. منبع حرارتی سرامیک‌های بودند که با شعله گاز حرارت داده می‌شدند. دانه‌ها روی نوار نقاله که با ویراتور تکان داده می‌شد، قرار گرفتند. سرعت نوار نقاله به‌گونه‌ای تنظیم شده بود که دانه‌ها ۵۵ ثانیه مورد تابش با امواج مادون قرمز قرار گرفتند و دمای سطحی آن‌ها به ۱۰۰ درجه سانتی‌گراد رسید (ثبت دمای سطحی دانه به‌وسیله دماسنج انجام شد). بلافاصله بعد از قرارگیری در معرض امواج مادون قرمز در دستگاه فلیکر، دانه‌ها توسط غلطک‌ها که فاصله آن‌ها با فیلر گیج صنعتی ۰/۵ میلی‌متر تنظیم شده بود، به‌صورت پولک در آمدند (SIF). در انتها، در دستگاه کولر قرار گرفتند و پس از خنک شدن کیسه شده، تا اینکه در زمان انجام آزمایش استفاده شوند.

### جیره‌های آزمایشی و مدیریت دامها

آزمایش در پاییز سال ۱۴۰۱ در مرکز تحقیقات گاو‌شیری دانشکده کشاورزی دانشگاه فردوسی مشهد انجام شد. این آزمایش با استفاده از سه راس گاو فیستولا شیرده نژاد هلستاین در قالب طرح مربع لاتین در سه دوره ۲۱ روزه (هفت روز تغییر جیره، ۱۰ روز عادت‌پذیری و چهار روز نمونه‌گیری) انجام شد. گاوها میانگین وزن زنده  $690 \pm 13$  کیلوگرم، روزهای شیردهی  $96 \pm 9$  روز و شکم زایش  $1 \pm 2$  داشتند. تیمارهای آزمایشی شامل: ۱) دانه جو بخار پز- تشعشعی مادون قرمز- پولکی بدون عمل‌آوری شیمیایی (شاهد، SIFB<sub>0</sub>)، ۲) دانه جو بخار پز- امواج مادون قرمز - پولکی عمل‌آوری شده با عصاره ریشه گیاه چوبک و اسید لاکتیک (SIFB<sub>LaAp</sub>) و ۳) دانه جو بخار پز- امواج مادون قرمز - پولکی عمل‌آوری شده با بی‌کربنات آمونیوم و اسید لاکتیک (SIFB<sub>LaAb</sub>) بودند. تنها تفاوت بین جیره‌های آزمایشی در استفاده از اوره در تیمار یک بود (جدول ۱). جیره‌های آزمایشی با نرم‌افزار انجمن تحقیقات ملی (NRC، ۲۰۰۱) با توجه به ویژگی گاوهای مورد آزمایش تنظیم گردید. گاوها در جایگاه انفرادی و با

## تجزیه آماری

در این آزمایش، داده‌های به‌دست آمده در قالب طرح بلوک کاملاً تصادفی با رویه MIXED و با استفاده از نرم‌افزار آماری SAS ویرایش ۹/۴ مورد تجزیه آماری قرار گرفتند. قبل از آنالیز داده‌ها، سنجش نیکویی برازش (AIC) انجام شد و بهترین مدل پیشنهادی برای تجزیه داده‌ها، بلوک کاملاً تصادفی بود. در نهایت، اثر گاوها به‌عنوان اثر متغیر (Random effect) حذف شد، زیرا خطای استاندارد باقی‌مانده (Residual standard error) کاهش پیدا می‌کرد. برای مقایسه میانگین‌ها از آزمون توکی استفاده شد. تفاوت بین میانگین‌ها در سطح احتمال کمتر از پنج درصد به‌عنوان معنی‌دار گزارش شد. مدل ریاضی طرح آماری استفاده شده عبارت از  $Y_{ijk} = \mu + D_i + T_j + e_{ijk}$  بود که در آن،  $Y_{ijk}$ : متغیر وابسته،  $\mu$ : اثر ثابت میانگین،  $D_i$ : اثر تیمار،  $T_j$ : اثر زمان (روز) و  $e_{ijk}$ : خطای آزمایش است.

## نتایج و بحث

**جدول ۲**، میزان ماده خشک مصرفی ( $DMI^2$ )، میزان تولید شیر و ترکیبات آن را نشان می‌دهد. در مطالعه حاضر، DMI تحت تأثیر انواع فرآوری دانه جو قرار نگرفت ( $P > 0.05$ ). صفایی و همکاران (Safaei *et al.*, 2017) دانه جو پولکی شده با بخار با جرم‌های توده‌ای مختلف<sup>۳</sup> (۳۹۰، ۳۴۰ و ۲۹۰ گرم بر لیتر) را در جیره گاوهای شیری استفاده کرده و گزارش کردند که دانه جو پولکی شده با انواع مختلف جرم توده‌ای هیچ تأثیر معنی‌داری بر مصرف ماده خشک ندارد، که آزمایش حاضر نتایج آن‌ها را تأیید می‌کند. هرچند که در این آزمایش علاوه بر پولکی کردن با بخار، پخت با مادون قرمز و همچنین عمل آوری شیمیایی نیز اتفاق افتاده است. افزایش نشاسته خوراک و بهبود قابلیت استفاده از آن موجب افزایش غلظت پروپيونات در مایع شکمبه و جریان آن به سمت کبد شده که افزایش فعالیت اکسیداتیو کبدی و تولید ATP را در پی دارد. این عوامل نقش مهمی در کاهش مصرف ماده خشک در چنین جیره‌هایی دارند (Albornoz and Allen, 2018). افزایش میزان پروتئین قابل تجزیه در شکمبه ( $RDP^4$ ) بر میزان مصرف ماده خشک اثرگذار است، زیرا که نیتروژن مورد نیاز برای تخمیر میکروبی را فراهم می‌کند (Shahri *et al.*, 2019). یکی دیگر از دلایل عدم تفاوت مصرف ماده خشک احتمالاً مشابه بودن میزان انرژی و پروتئین جیره‌های مصرفی است. تولید شیر، تولید شیر تصحیح شده براساس انرژی و نیز شیر تولیدی تصحیح شده براساس چربی ۳/۵ درصد تفاوت معنی‌داری را در بین تیمارها نشان نداد ( $P < 0.05$ ). یکی از عوامل دیگر مؤثر بر تولید شیر، تولید پروپيونات در شکمبه است (Malekhhahi *et al.*, 2021).

## اندازه‌گیری pH، نیتروژن آمونیاکی و پتانسیل ردوکس مایع شکمبه

برای تعیین pH مایع شکمبه، از دستگاه pH متر مدل (Metrohm744, Switzerland) استفاده شد. اندازه‌گیری pH در زمان صفر تا یک ساعت پس از خوراک‌دهی هر ۱۰ دقیقه یک‌بار، از یک تا دو ساعت پس از خوراک‌دهی هر ۲۰ دقیقه یک‌بار، از دو تا چهار ساعت پس از خوراک‌دهی هر ۳۰ دقیقه یک‌بار و نیز در چهار تا شش ساعت پس از خوراک‌دهی انجام شد. همچنین، نمونه جهت تعیین نیتروژن آمونیاکی (۲/۵ سی‌سی مایع شکمبه و ۲/۵ سی‌سی اسید هیدروکلریک (HCL) ۰/۲ نرمال در هر تیوپ) در زمان‌های صفر، یک، دو، سه و چهار ساعت پس از خوراک‌دهی از مایع شکمبه گرفته شد. نیتروژن آمونیاکی با دستگاه اسپکتروفتومتر و براساس روش ویدربورن (Weatherburn, 1967) اندازه‌گیری شد. پتانسیل ردوکس مایع شکمبه در زمان‌های صفر و چهار ساعت پس از خوراک‌دهی و با استفاده از دستگاه OPR (PCE Instruments, Germany) اندازه‌گیری شد.

## اندازه‌گیری قابلیت هضم ظاهری مواد مغذی

اندازه‌گیری قابلیت هضم ظاهری ماده خشک، پروتئین خام و نشاسته در کل دستگاه گوارش با استفاده از نشانگر خاکستر نامحلول در اسید<sup>۱</sup> (AIA) و براساس روش ون کولن و یانگ (Van Keulen and Young, 1977) انجام شد. به‌طور خلاصه، پنج گرم نمونه خوراک و مدفوع در کروسیل ریخته شد و به‌مدت ۲۴ ساعت در کوره الکتریکی با دمای ۴۵۰ درجه سانتی‌گراد قرار داده شد، بعد از خروج از کوره به درون بشر ریخته شده و ۱۰۰ میلی‌لیتر اسید هیدروکلریک (HCL) دو نرمال به آن اضافه و روی هیتر و زیر هود حرارت داده شد. خاکستر نامحلول در اسید به‌دست آمده، با کاغذ واتمن شماره ۴۱ صاف شده و سپس با آب مقطر با دمای ۸۵ تا ۱۰۰ درجه سانتی‌گراد شسته و کاغذ صافی و محتویات روی آن به آون انتقال داده شد تا خشک شوند. بعد از خشک شدن مجدداً در داخل کروسیل قرار گرفتند و به‌مدت ۱۲ ساعت در دمای ۴۵۰ سانتی‌گراد در کوره الکتریکی خاکسترگیری شدند. پس از خروج کروسیل‌ها از کوره ابتدا سرد و سپس وزن‌گیری شدند.

$$\text{معادله (۱)} \quad AIA\% = (W_f - W_e) / W_s \times 100$$

که در آن،  $W_f$ : وزن کروزه با خاکستر،  $W_e$ : وزن خالی کروزه و  $W_s$ : وزن نمونه خشک است.

2- Dry matter intake  
3- Bulk density  
4- Rumen degradable protein

1- Acid Insoluble Ash



$$\text{معادله (۲)} \quad \left( \frac{\text{مواد مغذی در مدفوع (درصد)}}{\text{مواد مغذی در خوراک (درصد)}} \right) \times \left( \frac{\text{نشانگر در خوراک (درصد)}}{\text{نشانگر در مدفوع (درصد)}} \right) \times (100 - 100 = \text{قابلیت هضم مواد مغذی})$$

جدول ۱- اجزاء و ترکیب مواد مغذی جیره‌های آزمایشی مورد استفاده در تغذیه گاوهای شیری به صورت کاملاً مخلوط

Table 1- Ingredients and nutrient composition of experimental diets fed to dairy cows as TMR

اجزاء جیره (درصد ماده خشک) Ingredients (% DM)	تیمارهای آزمایشی Experimental treatments		
	SIFB <sub>0</sub>	SIFB <sub>LaAp</sub>	SIFB <sub>LaAb</sub>
سیلاژ ذرت Corn silage	27.4	27.4	27.4
علوفه یونجه Alfalfa hay	21.9	21.9	21.9
کاه گندم Wheat straw	3.0	3.3	3.3
دانه جو بخار پز- تشعشعی مادون قرمز- پولکی SIFB <sub>0</sub>	14.6	-	-
دانه جو بخار پز- تشعشعی مادون قرمز- پولکی عمل آوری شده با عصاره ریشه گیاه چوبک و اسید لاکتیک SIFB <sub>LaAp</sub>	-	14.6	-
دانه جو بخار پز- تشعشعی مادون قرمز- پولکی عمل آوری شده با بی‌کربنات آمونیوم و اسید لاکتیک SIFB <sub>LaAb</sub>	-	-	14.6
دانه ذرت Corn grain	8.8	8.8	8.8
کنجاله سویا Soybean meal	11.6	11.6	11.6
تخم پنبه Cottonseed whole	6.4	6.4	6.4
دانه گندم Wheat grain	3.7	3.7	3.7
اوره Urea	0.3	-	-
اکسید منیزیم Magnesium oxide	0.2	0.2	0.2
بی‌کربنات سدیم Sodium bicarbonate	0.9	0.9	0.9
دی‌کلسیم فسفات Dicalcium phosphate	0.4	0.4	0.4
ویتامین ای و سلنیوم Vitamin E and selenium	0.4	0.4	0.4
پودر چربی Fat powder	0.4	0.4	0.4
ترکیب مواد مغذی (گرم در ۱۰۰۰ گرم ماده خشک) Nutrient content (g/100g DM)			
ماده خشک DM	501.2	519.7	509.4
پروتئین خام Crude protein	165.0	165.1	165.1
نشاسته Starch	240.5	240.6	240.6
الیاف نامحلول در شوینده خنثی (دیواره سلولی) NDF	303.0	302.7	302.9
الیاف نامحلول در شوینده اسیدی (دیواره سلولی بدون همی سلولز) ADF	197.0	196.7	196.8
انرژی خالص شیردهی (مگا کالری بر کیلوگرم) NEL (Mcal/kg)	1.64	1.64	1.64

تیمارهای آزمایشی شامل: ۱) دانه جو بخار پز- تشعشعی مادون قرمز- پولکی بدون هیچ عمل آوری شیمیایی (شاهد، SIFB<sub>0</sub>)، ۲) دانه جو بخار پز- تشعشعی مادون قرمز- پولکی عمل آوری شده با عصاره ریشه گیاه چوبک و اسید لاکتیک (SIFB<sub>LaAp</sub>) و ۳) دانه جو بخار پز- تشعشعی مادون قرمز- پولکی عمل آوری شده با بی‌کربنات آمونیوم و اسید لاکتیک (SIFB<sub>LaAb</sub>)

Experimental treatments were: 1) steam- infrared-flaked of barley grain (SIFB<sub>0</sub>), 2) Steam- infrared-flaked of barley grain treated with extract of *Acanthophyllum* and lactic acid (SIFB<sub>LaAp</sub>), 3) Steam- infrared-flaked of barley grain treated with ammonium bicarbonate and lactic acid (SIFB<sub>LaAb</sub>).

همچنین یکی از دلایل افزایش شیر تولیدی در تیمارهای مذکور احتمالاً افزایش RDP در آن‌هاست، زیرا کمبود RDP باعث کاهش تولید شیر می‌شود (Malekjahani et al., 2017). فرآوری دانه جو با اسید لاکتیک یک درصد همراه با اعمال حرارت ۵۵ درجه سانتی‌گراد تأثیری بر تولید شیر نداشت (Gruber et al., 2017) که نتایج این آزمایش، آن را تأیید می‌کند. درصد چربی شیر تحت تأثیر تیمارهای آزمایشی قرار گرفت ( $P < 0.05$ ). درصد چربی شیر در دامنه ۳/۳۵ تا ۳/۴۹ درصد بود و گاوهای تیمار SIFB<sub>0</sub> کمترین درصد چربی شیر را داشتند و میزان درصد چربی شیر در آن‌ها نسبت به درصد چربی شیر گاوهای تیمارهای SIFB<sub>LaAb</sub> و SIFB<sub>LaAp</sub> به ترتیب افزایش ۴/۰۱ و ۳/۴۶ درصدی داشت (جدول ۲). کمترین درصد پروتئین شیر در تیمار SIFB<sub>0</sub> با ۳/۲۶ درصد مشاهده شد، در مقابل بیشترین درصد پروتئین شیر با ۳/۳۵ درصد در تیمار SIFB<sub>LaAb</sub> مشاهده گردید. همچنین فرآوری دانه جو با اسید لاکتیک و عصاره ریشه چوبک (SIFB<sub>LaAp</sub>)، درصد پروتئین شیر را نسبت به تیمار SIFB<sub>0</sub> ۱/۲۳ درصد، افزایش داد (۳/۳۰ در مقابل ۳/۲۶ درصد). برطبق نتایج به دست آمده، بیشترین درصد لاکتوز شیر در تیمار SIFB<sub>LaAb</sub> مشاهده شد (۴/۳۷ درصد). بیشترین غلظت نیتروژن اوره‌ای شیر (MUN) با ۱۵/۴۵ میلی‌گرم در دسی‌لیتر در تیمار SIFB<sub>LaAb</sub> مشاهده شد. کمترین غلظت MUN با ۱۳/۴۵ میلی‌گرم در دسی‌لیتر در تیمار SIFB<sub>0</sub> مشاهده شد. تولید چربی، پروتئین و لاکتوز شیر تحت تأثیر تیمارهای آزمایشی قرار نگرفت. اقبال و همکاران (Iqbal et al., 2012)، افزایش درصد چربی شیر را در طی عمل‌آوری با اسید لاکتیک گزارش کردند که نتایج آزمایش حاضر، نتایج آن‌ها را تأیید می‌کند. عمل‌آوری با اسید لاکتیک منجر به افزایش زمان تجزیه‌پذیری شکمبه‌ای می‌شود و همچنین میزان نشاسته قابل دسترس در روده را که در ساخت چربی شیر مؤثر است، برای جذب افزایش داده است (Zebeli et al., 2009). زبلی و همکاران (Iqbal et al., 2009) بیان داشتند که درصد چربی شیر به‌عنوان یک شاخص برای نشان دادن سلامت شکمبه به کار می‌رود و افزایش آن نشان‌دهنده مناسب بودن شرایط محیطی شکمبه است. فرآوری فیزیکی بخاریز-امواج مادون قرمز-پولکی همراه با عمل‌آوری شیمیایی احتمالاً بر ماتریکس پروتئینی پیرامون گرانول‌های نشاسته دانه جو اثر گذاشته و میزان دسترسی ریزجانداران شکمبه به نشاسته را افزایش داده و سبب افزایش تجزیه‌پذیری آن می‌گردد که به تبع آن، بر درصد چربی شیر تأثیر می‌گذارد. استات به‌عنوان اسید چرب فرار شکمبه‌ای، همبستگی مثبت با تولید چربی شیر دارد که افزایش غلظت آن در مایع شکمبه به هنگام عمل‌آوری دانه جو با اسید لاکتیک مشاهده شده است (Iqbal et al., 2012). به‌طور کلی، تفاوت در درصد چربی شیر نشان‌دهنده تفاوت الگوهای تخمیری در شکمبه است (Shen et al.,

2012). مطالعات گذشته نشان داده‌اند که درصد پروتئین شیر با افزایش مقدار کربوهیدرات‌های قابل تخمیر افزایش پیدا می‌کند (Zhong et al., 2008). در آزمایش حاضر، قابلیت هضم نشاسته و پروتئین در تیمار SIFB<sub>LaAb</sub> نسبت به سایر تیمارها بیشتر بود ( $P < 0.05$ ) و این یکی از دلایل افزایش درصد پروتئین در شیر گاوهای مصرف‌کننده آن‌ها است که احتمالاً جریان نیتروژن میکروبی به دئودنوم را افزایش داده است. به دلیل تغییر محل نشاسته از شکمبه به روده باریک در اثر عمل‌آوری شیمیایی با اسید لاکتیک، جذب گلوکز در روده باریک افزایش یافته و استفاده از اسیدهای آمینه برای ساخت گلوکز در کبد و روده کاهش می‌یابد و بدین ترتیب، اسید آمینه بیشتری در پستان فراهم شده و در نتیجه، پروتئین شیر افزایش می‌یابد (Piccioli-Cappelli et Nocek and Tamminga, 1991 ; al., 2014). احتمالاً استفاده از بی‌کربنات آمونیوم، سطح RDP را افزایش داده که موجب افزایش تولید پروتئین میکروبی و به دنبال آن ایجاد ترکیبی مناسب از اسیدهای آمینه برای ساخت پروتئین شیر می‌شود. افزایش RDP، فراهمی اسیدهای آمینه لیزین و میتوئین را برای حیوان بهبود می‌دهد و به دنبال آن درصد پروتئین شیر افزایش می‌یابد (Brzóska, 2005). احتمالاً یکی از دلایل افزایش درصد لاکتوز شیر در تیمار SIFB<sub>LaAb</sub>، افزایش هضم‌پذیری نشاسته در آن‌هاست که موجب افزایش جذب گلوکز در روده حیوان می‌شود. گلوکز به‌عنوان پیش‌ساز لاکتوز شیر عمل می‌کند. افزایش سطح RDP در شکمبه به دلیل عمل‌آوری شیمیایی، احتمالاً دلیل افزایش غلظت نیتروژن اوره‌ای شیر در تیمارهای SIFB<sub>LaAb</sub> و SIFB<sub>LaAp</sub> نسبت به تیمار SIFB<sub>0</sub> است. همچنین یکی از دلایلی که می‌توان تفاوت غلظت MUN را به آن نسبت داد، تفاوت در غلظت نیتروژن اوره‌ای خون (BUN) در بین تیمارهاست. همبستگی مثبتی بین MUN و BUN وجود دارد (Kohn et al., 2005). غلظت MUN همزمانی انرژی و پروتئین در شکمبه را نشان می‌دهد. مازاد پروتئین در شکمبه به آمونیاک تبدیل می‌شود (در اثر دامیناسیون اسیدهای آمینه) که موجب جذب آن توسط سیاهرگ باب کبدی شده و به کبد منتقل و در آن‌جا به اوره تبدیل می‌گردد و منبعی برای BUN و MUN می‌شود (Røjen and Kristensen, 2012).

متوسط غلظت سرمی گلوکز، آلومین، BUN و پروتئین کل در ساعت‌های قبل از خوراک‌دهی صبحگاهی، دو، چهار و شش ساعت پس از آن در جدول ۳ آمده است. غلظت گلوکز در قبل از خوراک‌دهی صبحگاهی و تمامی ساعت‌های نمونه‌گیری پس از آن تحت تأثیر تیمارهای آزمایشی قرار نگرفت ( $P > 0.05$ ). غلظت BUN جز در زمان قبل از خوراک‌دهی، در ساعت‌های دو، چهار و شش ساعت بعد از مصرف خوراک تحت تأثیر تیمارهای آزمایشی قرار گرفت ( $P < 0.05$ ).



**Table 2-** The effect of various chemically processed barley grain accompany through steam-infrared-flaked in rumen-fistulated Holstein dairy cows diets on DMI, milk yield, and milk composition

Parameters	تیمارهای آزمایشی			P-value
	Experimental treatments			
	SFIB <sub>0</sub>	SFIB <sub>100</sub>	SFIB <sub>200</sub>	
ماده خشک مصرفی (کیلوگرم در روز)	22.93	23.06	22.87	0.988
DMI (kg/day)	22.93	23.06	22.87	0.988
تولید شیر (کیلوگرم در روز)	20.78	21.65	21.97	0.994
Milk yield (kg/day)	20.78	21.65	21.97	0.994
شیر تصحیح شده براساس انرژی (کیلوگرم در روز)	20.88	21.86	22.87	0.992
Energy corrected milk (kg/day)	20.88	21.86	22.87	0.992
شیر تصحیح شده براساس چربی ۳/۵ درصد (کیلوگرم در روز)	20.26	21.54	21.90	0.998
Fat 3.5% corrected milk (kg/day)	20.26	21.54	21.90	0.998
چربی شیر (درصد)	3.35 <sup>b</sup>	3.47 <sup>a</sup>	3.49 <sup>a</sup>	<0.0001
Milk fat (%)	3.35 <sup>b</sup>	3.47 <sup>a</sup>	3.49 <sup>a</sup>	<0.0001
پروتئین شیر (درصد)	3.26 <sup>c</sup>	3.30 <sup>b</sup>	3.35 <sup>a</sup>	0.675
Milk protein (%)	3.26 <sup>c</sup>	3.30 <sup>b</sup>	3.35 <sup>a</sup>	0.675
لاکتوز شیر (درصد)	4.29 <sup>b</sup>	4.28 <sup>a</sup>	4.37 <sup>a</sup>	0.822
Milk lactose (%)	4.29 <sup>b</sup>	4.28 <sup>a</sup>	4.37 <sup>a</sup>	0.822
مواد جامد شیر (درصد)	11.03 <sup>c</sup>	11.25 <sup>b</sup>	11.38 <sup>a</sup>	0.530
Milk total solid (%)	11.03 <sup>c</sup>	11.25 <sup>b</sup>	11.38 <sup>a</sup>	0.530
نیترژن اورهی شیر (میلی گرم /دسی لیتر)	13.45 <sup>c</sup>	14.38 <sup>b</sup>	15.45 <sup>a</sup>	0.579
Milk urea nitrogen (mg/dl)	13.45 <sup>c</sup>	14.38 <sup>b</sup>	15.45 <sup>a</sup>	0.579
چربی شیر (کیلوگرم در روز)	0.696	0.751	0.765	0.994
Milk fat (%)	0.696	0.751	0.765	0.994
پروتئین شیر (کیلوگرم در روز)	0.677	0.714	0.736	0.996
Milk protein (%)	0.677	0.714	0.736	0.996
لاکتوز شیر (کیلوگرم در روز)	0.879	0.928	0.960	0.999
Milk lactose (%)	0.879	0.928	0.960	0.999

میانگین‌های با حروف غیر مشابه در هر ردیف دارای اختلاف معنی‌داری می‌باشند. (P<0.05)

تیمارهای آزمایشی شامل: ۱) دانه جو پختار پز-تشمش مادون قرمز-پولکی بدون هیچ عمل آوری شیمیایی (شاهد، SFIB<sub>0</sub>)، ۲) دانه جو پختار پز-تشمش مادون قرمز-پولکی در جیره عمل آوری شیمیایی (شاهد، SFIB<sub>100</sub>)، ۳) دانه جو پختار پز-تشمش مادون قرمز-پولکی در جیره گاوهای شیری فیستولا شده بر ماده خشک مصرفی، تولید و ترکیب شیر

دانه جو پختار پز-تشمش مادون قرمز-پولکی عمل آوری شده با نی کریبات آمونیم و اسید لاکتیک (SFIB<sub>200</sub>)

شیر تصحیح شده براساس انرژی (کیلوگرم در روز) = (تولید شیر (کیلوگرم) × ۰.۳۳۳۶) + (چربی شیر (کیلوگرم) × ۱۲/۱۹۶) + (پروتئین شیر (کیلوگرم) × ۷/۰۴)

شیر تصحیح شده براساس چربی (کیلوگرم در روز) = (تولید شیر (کیلوگرم) × ۰.۴۳۳) + (میانگین تولید شیر (کیلوگرم) × ۱۶/۳۱۶)

(Erdman, 2011)

Means with different superscript letters in each row indicate significant different (P<0.05)

Experimental treatments were: 1) steam- infrared-flaked of barley grain (SFIB<sub>0</sub>), 2) Steam- infrared-flaked of barley grain treated with ammonium bicarbonate and lactic acid (SFIB<sub>100</sub>), 3) (SFIB<sub>200</sub>)

ECM yield = (kg of milk × 0.3246) + (kg of milk fat × 12.96) + (kg of milk protein × 7.04), as described by Orth (1992).

3.5% FCM yield = (0.432 × kg of average milk yield) + (16.216 × kg of fat); Erdman (2011)

تیمار  $SIFB_{LaAp}$  در دو ساعت پس از خوراک‌دهی با  $19/33$  میلی‌گرم در دسی‌لیتر، بیشترین غلظت را در بین تیمارها داشت و نسبت به تیمار  $SIFB_0$  تفاوت معنی‌دار بود ( $P < 0/05$ ). چهار ساعت پس از مصرف خوراک، تیمارهای  $SIFB_0$  و  $SIFB_{LaAb}$  به ترتیب کمترین و بیشترین غلظت BUN را داشتند (به ترتیب  $18/67$  و  $22/16$  میلی‌گرم بر دسی‌لیتر). غلظت BUN در شش ساعت پس از مصرف خوراک در تیمار  $SIFB_{LaAb}$  به ترتیب  $23/42$  و  $13/05$  درصد نسبت به تیمارهای  $SIFB_0$  و  $SIFB_{LaAp}$  بیشتر بود ( $P < 0/05$ ). همچنین، اختلاف غلظت BUN بین تیمارهای  $SIFB_0$  و  $SIFB_{LaAp}$  معنی‌دار ( $P > 0/05$ ) بود ( $21/47$  در مقابل  $23/44$  میلی‌گرم بر دسی‌لیتر، به ترتیب برای  $SIFB_0$  و  $SIFB_{LaAp}$ ). غلظت آلبومین سرم به جز در قبل از خوراک‌دهی که برای تیمار  $SIFB_{LaAp}$  ( $3/95$  گرم بر دسی‌لیتر) کمترین مقدار بود و با  $SIFB_0$  و  $SIFB_{LaAb}$  تفاوت معنی‌دار داشت ( $P < 0/05$ )، در بقیه ساعت‌ها تفاوت معنی‌داری بین تیمارها مشاهده نشد. غلظت پروتئین کل سرم تنها در شش ساعت پس از مصرف خوراک تحت تأثیر تیمارها قرار گرفت ( $P < 0/05$ ) و تیمارهای  $SIFB_{LaAb}$  و  $SIFB_0$  بیشترین و کمترین غلظت را داشتند (به ترتیب  $7/77$  و  $7/14$  گرم بر دسی‌لیتر). در مطالعه حاضر، شاید یکی از دلایل عدم تفاوت بین غلظت سرمی گلوکز، مشابه بودن مصرف ماده خشک در بین تیمارها است. مطالعات گذشته نشان داد که استفاده از جو پولکی شده همراه با کنجاله سویا عمل‌آوری شده با زایلاناز غلظت BUN را در گاوهای مصرف‌کننده آن‌ها افزایش داد (*Shahri et al., 2019*). افزایش سطح BUN در جوهای عمل‌آوری شیمیایی شده احتمالاً به دلیل افزایش سطح RDP و نیتروژن آمونیاکی در شکمبه است. مطالعه حاضر، نتایج واناپات و همکاران (*Wanapat et al., 2008*) را که بیان کردند، سطح BUN با غلظت نیتروژن آمونیاکی ارتباط مستقیم دارد، تأیید می‌نماید. آلبومین به عنوان پروتئین التهابی فاز حاد منفی شناخته می‌شود که به هنگام التهاب، مقدار آن کاهش می‌یابد (*Bertoni et al., 2008*). احتمالاً یکی از دلایل تفاوت غلظت آلبومین در ساعت قبل از خوراک‌دهی، شرایط دام در لحظه نمونه‌برداری باشد. تفاوت در غلظت پروتئین کل سرم در شش ساعت پس از خوراک‌دهی احتمالاً با غلظت BUN و قابلیت هضم پروتئین در کل دستگاه گوارش مرتبط است، زیرا که در تیمار  $SIFB_{LaAb}$ ، بیشترین قابلیت هضم پروتئین مشاهده شد و این احتمالاً علت افزایش غلظت پروتئین تام در این تیمار باشد (به دلیل افزایش تأمین پروتئین متابولیکی برای حیوان). نتایج مربوط به قابلیت هضم ظاهری ماده خشک، پروتئین خام و نشاسته در جدول ۴ آمده است. براساس نتایج به دست آمده تیمارهای آزمایشی اثر معنی‌داری ( $P < 0/05$ ) بر قابلیت هضم ظاهری مواد مغذی داشتند. بیشترین قابلیت هضم ظاهری ماده خشک مربوط به

تیمار  $SIFB_{LaAp}$  با  $63/02$  درصد بود. عمل‌آوری‌های شیمیایی دانه‌های جو، قابلیت هضم ظاهری ماده خشک را در تیمارهای  $SIFB_{LaAp}$  و  $SIFB_{LaAb}$  نسبت به تیمار بدون عمل‌آوری شیمیایی ( $SIFB_0$ ) به ترتیب  $4/90$  و  $2/99$  درصد افزایش داد. قابلیت هضم ظاهری پروتئین خام در دامنه  $63/87$  تا  $67/67$  درصد بود و بیشترین و کمترین مقادیر آن به ترتیب در تیمارهای  $SIFB_{LaAb}$  ( $67/67$  درصد) و  $SIFB_0$  ( $63/87$  درصد) مشاهده شد. متوسط قابلیت هضم ظاهری نشاسته در این مطالعه  $79/05$  درصد بود و بیشترین مقدار آن با  $80/13$  درصد در تیمار  $SIFB_{LaAb}$  مشاهده شد. در مطالعه حاضر، عمل‌آوری شیمیایی با عصاره ریشه چوبک همراه با اسید لاکتیک منجر به افزایش قابلیت هضم ظاهری ماده خشک شد. گیاه چوبک از گذشته به عنوان یک شوینده شناخته شده و منبع غنی از ساپونین است و از آن به عنوان یک سورفاکتانت (کاهش کشش سطحی و لیزکنندگی) استفاده می‌شود (*Khosrow Shahi et al., 2021*). این خاصیت شویندگی احتمالاً با افزایش شسته شدن یاف خوراک منجر به افزایش قابلیت هضم ظاهری ماده خشک شده است. استفاده از سورفاکتانت‌ها با تغییر کشش سطحی مایع شکمبه بر رشد و فعالیت (تحریک تولید آنزیم‌های گوارشی) باکتری‌های شکمبه تأثیر می‌گذارد (*Tang et al., 2021*) که این امر می‌تواند توجیه مناسبی برای افزایش قابلیت هضم ظاهری ماده خشک در اثر عمل‌آوری با عصاره ریشه چوبک باشد. عمل‌آوری شیمیایی دانه جو با اسید لاکتیک و حرارت باعث افزایش تجزیه‌پذیری ترکیبات همی سلولزی شده و غلظت دیواره سلولی (NDF) را کاهش می‌دهد که می‌تواند بر هضم‌پذیری مواد مغذی اثرگذار باشد (*Harder et al., 2015*). هیرستو و همکاران (*Hristov et al., 2007*) بیان کردند که عمل‌آوری دانه ذرت با ساپونین و پولکی کردن آن با بخار منجر به افزایش  $17/2$  و  $6/7$  درصدی تجزیه‌پذیری مؤثر ماده خشک و نشاسته نسبت به دانه‌های خام پولکی شد. بی‌کربنات آمونیوم ( $NH_4HCO_3$ ) یک ترکیب آمونیاک‌دار است، بیان شده است که عمل‌آوری دانه جو با ترکیبات آمونیاکی موجب افزایش محتویات نیتروژن و قابلیت هضم مواد مغذی در گاوهای شیری و گوشتی شده است (*Belanche et al., 2021*)، که نتایج ما، آن را تأیید می‌کند. قابلیت هضم ظاهری پروتئین خام در تیمار  $SIFB_{LaAb}$  نسبت به سایر تیمارها بیشتر بود و این احتمالاً به دلیل افزایش سطح RDP است، زیرا منبع نیتروژن برای ساخت پروتئین میکروبی فراهم شده است. عمل‌آوری شیمیایی با ترکیبات گیاهی و مواد آلكالینی موجب افزایش هضم‌پذیری و تغییر محل هضم نشاسته از شکمبه به روده باریک می‌شود (*Naseroleslami et al., 2018*).

**جدول ۳-** تأثیر انواع دانه جو عمل آوری شیمیایی شده همراه با فرآوری فیزیکی بخارپز- امواج مادون قرمز- پولکی در جیره گاوهای شیری فیستولا شده بر غلظت متابولیت‌های خون در زمان‌های قبل خوراک‌دهی، دو، چهار و شش ساعت پس از خوراک‌دهی

**Table 3-** The effect of various chemically processed barley grain accompany through steam-infrared-flaked in rumen-fistulated Holstein dairy cows diets on Concentration of blood metabolites at the before and 2, 4 and 6 h after feeding

فراسنجه Parameters	تیمارهای آزمایشی Experimental treatments			میانگین خطای استاندارد SEM	سطح معنی‌داری P-value
	SIFB <sub>0</sub>	SIFB <sub>LaAp</sub>	SIFB <sub>LaAb</sub>		
قبل از خوراک‌دهی صبحگاهی Before the morning feeding					
گلوکز (میلی گرم بر دسی لیتر) Glucose (mg/dl)	55.60	56.03	55.36	1.90	0.969
نیتروژن اورهای خون (میلی گرم بر دسی لیتر) Blood urea nitrogen (mg/dl)	17.69	18.71	18.01	0.558	0.272
آلبومین (گرم بر دسی لیتر) Albumin (g/dl)	4.14 <sup>a</sup>	3.95 <sup>b</sup>	4.26 <sup>a</sup>	0.063	0.031
پروتئین کل (گرم بر دسی لیتر) Total proteins (g/dl)	6.65	6.86	6.83	0.139	0.558
دو ساعت بعد از خوراک‌دهی صبحگاهی After the morning feeding, 2 h					
گلوکز (میلی گرم بر دسی لیتر) Glucose (mg/dl)	55.77	56.28	56.19	1.89	0.980
نیتروژن اورهای خون (میلی گرم بر دسی لیتر) Blood urea nitrogen (mg/dl)	17.68 <sup>b</sup>	19.33 <sup>a</sup>	19.12 <sup>a</sup>	0.428	0.047
آلبومین (گرم بر دسی لیتر) Albumin (g/dl)	4.18	4.13	4.24	0.060	0.190
پروتئین کل (گرم بر دسی لیتر) Total proteins (g/dl)	6.79	7.00	6.84	0.125	0.360
چهار ساعت پس از خوراک‌دهی صبحگاهی After the morning feeding, 4 h					
گلوکز (میلی گرم بر دسی لیتر) Glucose (mg/dl)	58.16	59.29	58.17	1.78	0.878
نیتروژن اورهای خون (میلی گرم بر دسی لیتر) Blood urea nitrogen (mg/dl)	18.67 <sup>c</sup>	20.66 <sup>b</sup>	22.16 <sup>a</sup>	0.616	0.02
آلبومین (گرم بر دسی لیتر) Albumin (g/dl)	4.24	4.11	4.16	0.085	0.582
پروتئین کل (گرم بر دسی لیتر) Total proteins (g/dl)	6.97	7.27	7.12	0.162	0.547
شش ساعت پس از خوراک‌دهی صبحگاهی After the morning feeding, 6 h					
گلوکز (میلی گرم بر دسی لیتر) Glucose (mg/dl)	59.08	60.03	59.36	2.18	0.952
نیتروژن اورهای خون (میلی گرم بر دسی لیتر) Blood urea nitrogen (mg/dl)	21.47 <sup>c</sup>	23.44 <sup>b</sup>	26.50 <sup>a</sup>	0.533	0.001
آلبومین (گرم بر دسی لیتر) Albumin (g/dl)	4.21	4.22	4.03	0.077	0.219
پروتئین کل (گرم بر دسی لیتر) Total proteins (g/dl)	7.14 <sup>c</sup>	7.47 <sup>b</sup>	7.77 <sup>a</sup>	0.138	0.049

میانگین‌های با حروف غیر مشابه در هر ردیف دارای اختلاف معنی‌داری می‌باشند ( $P < 0.05$ )

تیمارهای آزمایشی شامل: ۱) دانه جو بخار پز- تشعشعی مادون قرمز- پولکی بدون هیچ عمل آوری شیمیایی (شاهد، SIFB<sub>0</sub>)، ۲) دانه جو بخار پز- تشعشعی مادون قرمز- پولکی عمل آوری شده با عصاره ریشه گیاه چوبک و اسید لاکتیک (SIFB<sub>LaAp</sub>) و ۳) دانه جو بخار پز- تشعشعی مادون قرمز- پولکی عمل آوری شده با بی‌کربنات آمونیوم و اسید لاکتیک (SIFB<sub>LaAb</sub>)

Means with different superscript letters in each row indicate significant different ( $P < 0.05$ )

Experimental treatments were: 1) steam- infrared-flaked of barley grain (SIFB<sub>0</sub>), 2) Steam- infrared-flaked of barley grain treated with extract of *Acanthophyllum* and lactic acid (SIFB<sub>LaAp</sub>), 3) Steam- infrared-flaked of barley grain treated with ammonium bicarbonate and lactic acid (SIFB<sub>LaAb</sub>).

pH در شکمبه از تأثیرات نامطلوب آن در حیوان جلوگیری کرده و دوام محیط مطلوب و فرصت کافی برای تجزیه نشاسته در شکمبه را فراهم می‌آورد علاوه بر آن، ورود و جذب نشاسته به روده باریک را افزایش می‌دهد که می‌تواند هضم‌پذیری نشاسته در کل دستگاه گوارش را تحت تأثیر قرار دهد.

استفاده از بی‌کربنات آمونیوم احتمالاً با تأمین نیتروژن کافی برای ریزجانداران شکمبه و متعادل کردن pH شکمبه‌ای نقش مهمی در ایجاد کلونی میکروبی روی ذرات نشاسته و افزایش هضم‌پذیری آن دارد. اسید لاکتیک موجب کاهش بخش سریع تجزیه نشاسته و افزایش بخش کند تجزیه آن در شکمبه می‌شود (Deckardt et al., 2014). این از آن جهت مهم است که اولاً با ممانعت از کاهش شدید

**جدول ۴-** تأثیر انواع دانه جو عمل‌آوری شیمیایی شده همراه با فرآوری فیزیکی بخارپز- امواج مادون قرمز- پولکی در جیره گاوهای شیری فیستولا شده بر قابلیت هضم ظاهری مواد مغذی

**Table 4-** The effect of various chemically processed barley grain accompany through steam-infrared-flaked in rumen-fistulated Holstein dairy cows diets on nutrient apparent digestibility

فراسنجه Parameters	تیمارهای آزمایشی Experimental treatments			میانگین خطای استاندارد SEM	سطح معنی‌داری P-value		
	SFIB <sub>0</sub>	SIFB <sub>LaAp</sub>	SIFB <sub>LaAb</sub>		تیمار Treatment	زمان Time	تیمار × زمان Treatment × time
	ماده خشک (درصد) DMI (%)	60.08 <sup>b</sup>	63.02 <sup>a</sup>		61.88 <sup>ab</sup>	0.689	0.033
پروتئین خام (درصد) Crude protein (%)	63.87 <sup>c</sup>	65.08 <sup>b</sup>	67.67 <sup>a</sup>	0.571	0.01	0.002	0.922
نشاسته (درصد) Starch (%)	77.58 <sup>b</sup>	79.45 <sup>a</sup>	80.13 <sup>a</sup>	0.876	0.05	0.578	0.426

میانگین‌های با حروف غیر مشابه در هر ردیف دارای اختلاف معنی‌داری می‌باشند ( $P < 0.05$ )

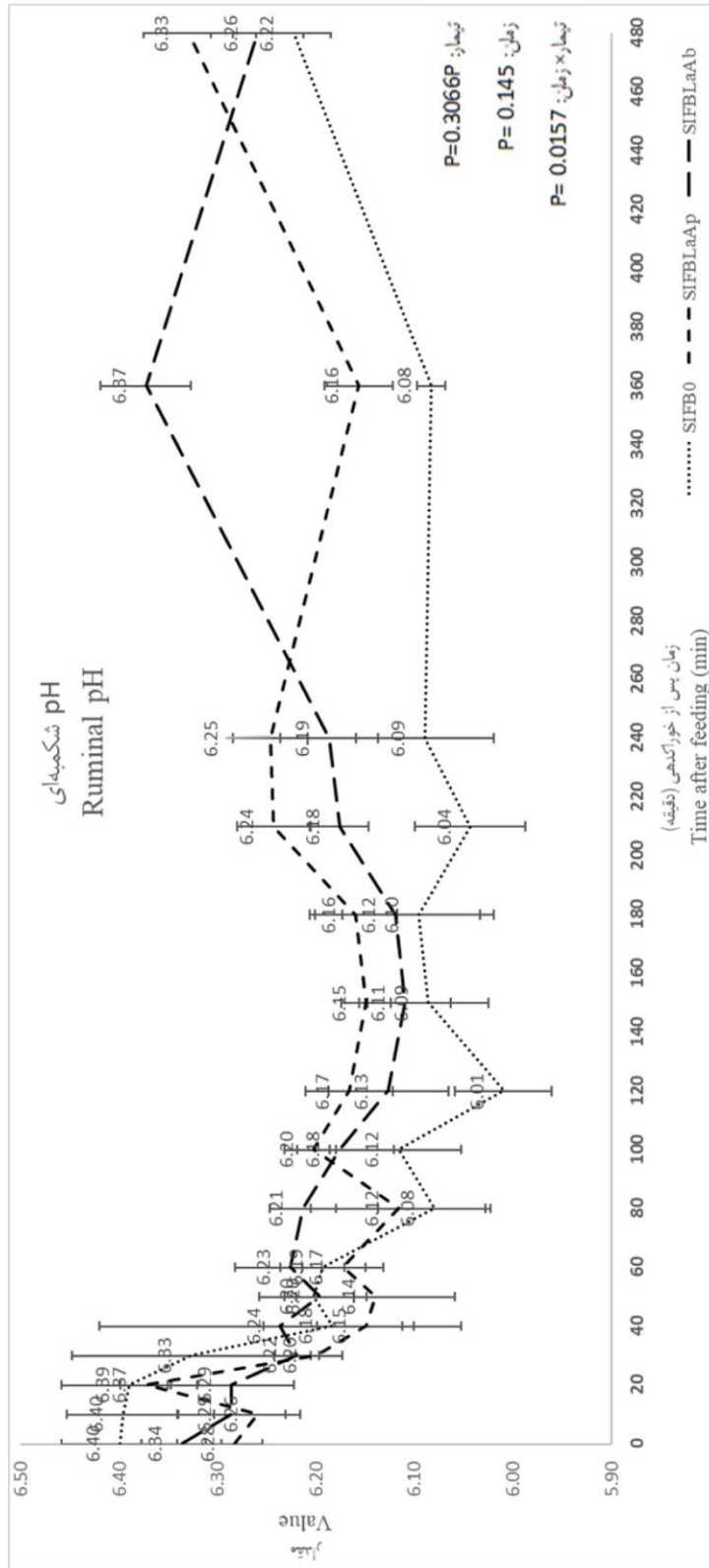
تیمارهای آزمایشی شامل: ۱) دانه جو بخار پز- تشعشعی مادون قرمز- پولکی بدون هیچ عمل‌آوری شیمیایی (شاهد، SFIB<sub>0</sub>)، ۲) دانه جو بخار پز- تشعشعی مادون قرمز- پولکی عمل‌آوری شده با عصاره ریشه گیاه چوبک و اسید لاکتیک (SIFB<sub>LaAp</sub>) و ۳) دانه جو بخار پز- تشعشعی مادون قرمز- پولکی عمل‌آوری شده با بی‌کربنات آمونیوم و اسید لاکتیک (SIFB<sub>LaAb</sub>)

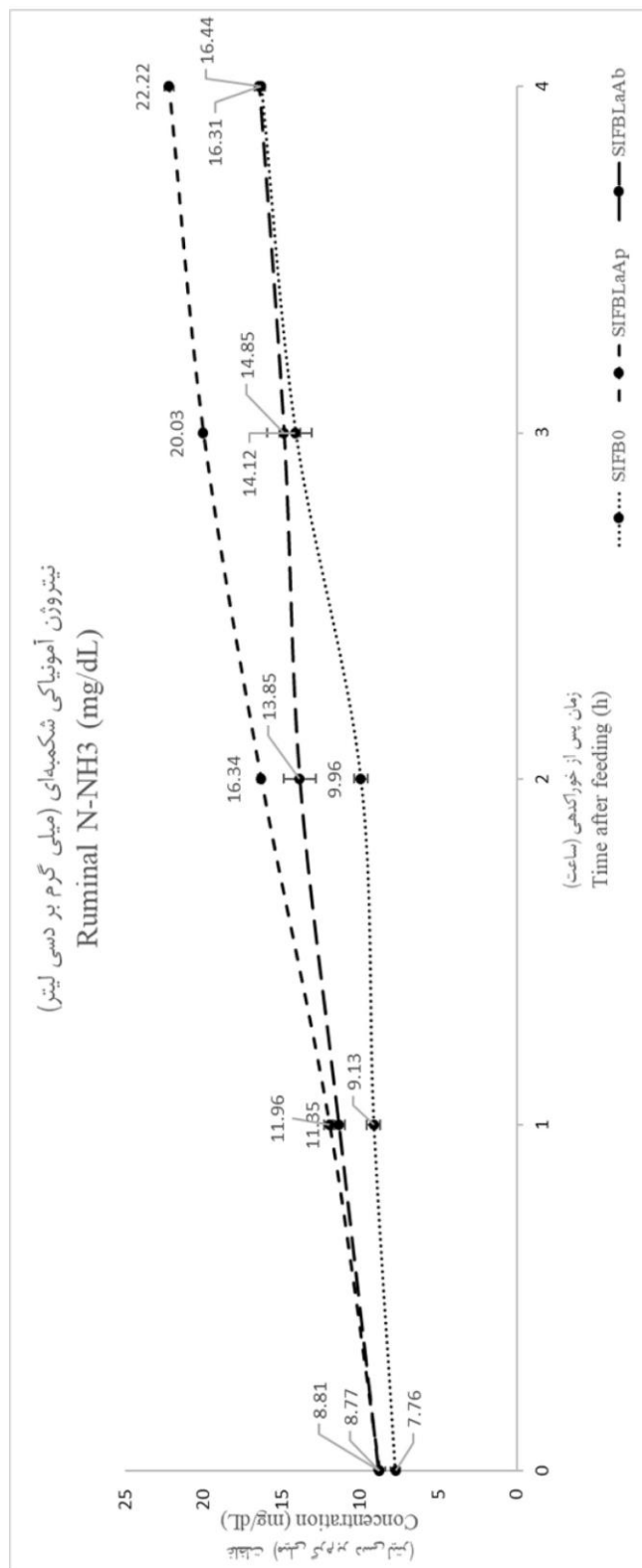
Means with different superscript letters in each row indicate significant different ( $P < 0.05$ )

Experimental treatments were: 1) steam- infrared-flaked of barley grain (SFIB<sub>0</sub>), 2) Steam- infrared-flaked of barley grain treated with extract of *Acanthophyllum* and lactic acid (SIFB<sub>LaAp</sub>), 3) Steam- infrared-flaked of barley grain treated with ammonium bicarbonate and lactic acid (SIFB<sub>LaAb</sub>).

دسی‌لیتر به تیمار SFIB<sub>0</sub> اختصاص داشت. دامنه غلظت نیتروژن آمونیاکی در دو ساعت پس از خوراک‌دهی بین ۹/۹۶ تا ۱۶/۳۴ میلی‌گرم بر دسی‌لیتر بود که بیشترین و کمترین آن به ترتیب در تیمارهای SFIB<sub>LaAb</sub> و SFIB<sub>0</sub> مشاهده شد. در زمان‌های ۳ و ۴ ساعت پس از خوراک‌دهی، غلظت نیتروژن آمونیاکی در تیمار SFIB<sub>LaAb</sub> نسبت به تیمار SFIB<sub>0</sub> به ترتیب ۴۱/۸۵ و ۳۶/۲۳ درصد و نیز نسبت به تیمار SFIB<sub>LaAp</sub> به ترتیب ۳۴/۷۹ و ۳۵/۱۵ درصد، به طور معنی‌داری افزایش یافت ( $P < 0.05$ ). تفاوت غلظت نیتروژن آمونیاکی در زمان‌های ۳ و ۴ ساعت پس از خوراک‌دهی بین تیمارهای SFIB<sub>0</sub> و SFIB<sub>LaAp</sub> معنی‌دار نبود. پتانسیل ردوکس شکمبه‌ای در زمان‌های صفر و ۴ ساعت پس از خوراک‌دهی تحت تأثیر تیمارهای آزمایشی قرار نگرفت (شکل ۳). میانگین پتانسیل ردوکس شکمبه‌ای در زمان ۴ ساعت پس از خوراک‌دهی نسبت به زمان صفر افزایش یافت (۲۵۶/۷- به ۲۴۷/۷- میلی‌ولت)، اما معنی‌دار نبود.

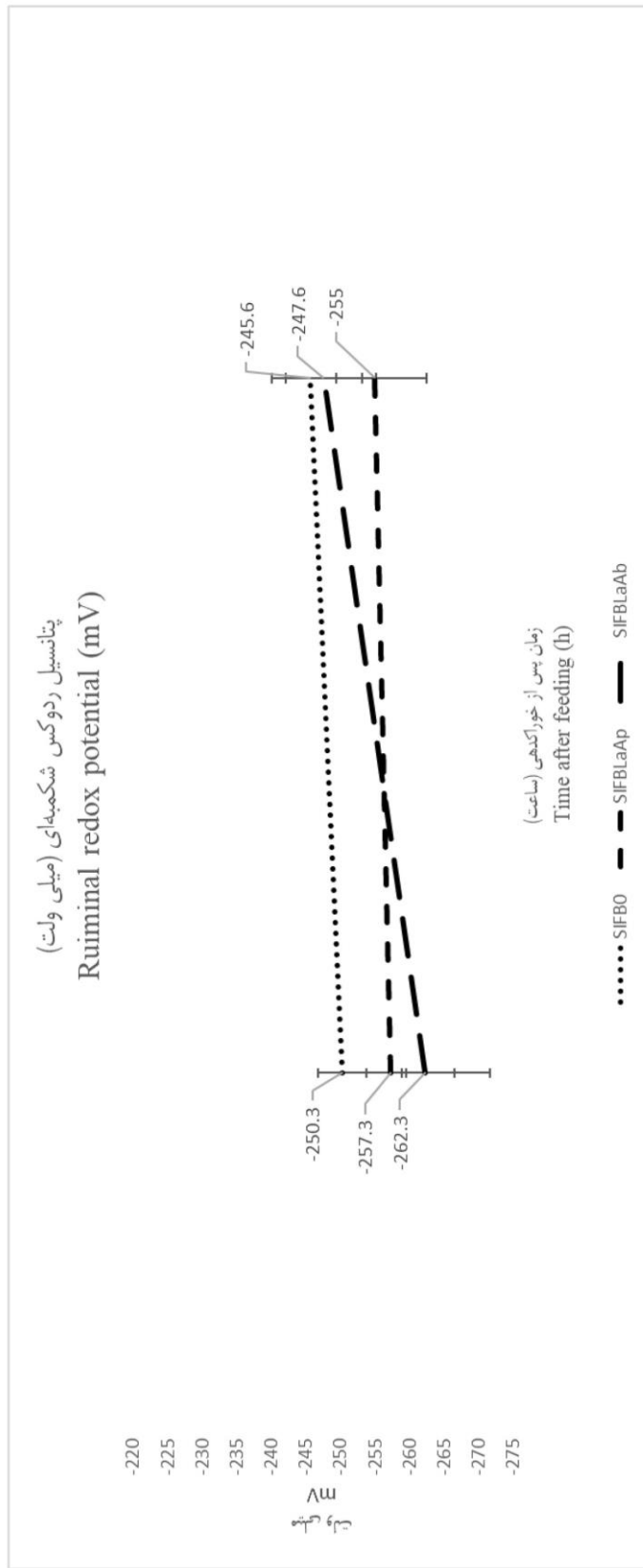
**شکل ۱**، روند تغییرات pH شکمبه‌ای را در ساعات مختلف پس از خوراک‌دهی را نشان می‌دهد. تیمارهای آزمایشی و زمان‌های اندازه‌گیری به طور کلی، تأثیر معنی‌داری بر روند تغییرات pH شکمبه‌ای نداشتند. اما اثر متقابل تیمار آزمایشی در زمان معنی‌دار بود ( $P < 0.05$ ). در زمان‌های ۱۲۰، ۲۱۰ و ۳۶۰ دقیقه پس از مصرف خوراک، pH شکمبه بین تیمارها تفاوت معنی‌دار داشت ( $P < 0.05$ ). تیمار SFIB<sub>0</sub> کمترین pH را با ۶/۰۱، ۶/۰۴ و ۶/۰۸ در دقایق ۱۲۰، ۲۱۰ و ۳۶۰ و تیمار SFIB<sub>LaAb</sub> بیشترین pH را با ۶/۱۷، ۶/۲۴ و ۶/۳۷ در دقایق مذکور به خود اختصاص داده بود. روند تغییرات غلظت نیتروژن آمونیاکی شکمبه در طول زمان چهار ساعت پس از خوراک‌دهی در شکل ۲ نشان داده شده است. اثر تیمارهای آزمایشی، زمان نمونه‌گیری و اثر متقابل آن‌ها بر غلظت نیتروژن آمونیاکی معنی‌دار بود ( $P < 0.05$ ). بیشترین غلظت نیتروژن آمونیاکی در یک ساعت پس از خوراک‌دهی مربوط به تیمار SFIB<sub>LaAb</sub> با ۱۱/۹۶ میلی‌گرم بر دسی‌لیتر بود و کمترین غلظت با ۹/۱۳ میلی‌گرم بر





**Figure 2-** The effect of various chemically processed barley grain accompany through steam-infrared-flaked in rumen-fistulated Holstein dairy cows diets on hourly variation of ruminant N-NH<sub>3</sub> (SIFBLaAb) and (SIFBLaAp) تیمارهای آزمایشی شامل: ۱) دانه جو بخار پز - تشمشی مادون قرمز - پولکی بدون هیچ عمل آوری شیمیایی (شاهد، SIFB<sub>0</sub>), ۲) دانه جو بخار پز - تشمشی مادون قرمز - پولکی عمل آوری شده با بی کربرات آمونیم و اسید لاکتیک (SIFBLaAb), ۳) دانه جو بخار پز - تشمشی مادون قرمز - پولکی عمل آوری شده با بی کربرات آمونیم و اسید لاکتیک (SIFBLaAp).  
 Experimental treatments were: 1) steam- infrared-flaked of barley grain treated with ammonium bicarbonate and lactic acid (SIFBLaAb), 2) Steam- infrared-flaked of barley grain treated with extract of *Acanthophyllum* and lactic acid (SIFBLaAp), 3) Steam- infrared-flaked of barley grain treated with ammonium bicarbonate and lactic acid (SIFBLaAb).





شکل ۳- تاثیر انواع دانه جو عمل آوری شیمیایی شده همراه با فرآوری فیزیکی بخار پز - تشعشعی مادون قرمز - پولکی در جیره گاوهای شیری فستولا شده بر تغییرات پتانسیل ردوکس شکمبه  
Figure 3-The effect of various chemically processed barley grain accompany through steam-infrared-flaked in rumen-fistulated Holstein dairy cows diets on variation of redox potential

تیمارهای آزمایشی شامل: (۱) دانه جو بخار پز - تشعشعی مادون قرمز - پولکی بدون هیچ عمل آوری شیمیایی (شاهد، SIFB<sub>0</sub>), (۲) دانه جو بخار پز - تشعشعی مادون قرمز - پولکی عمل آوری شده با امونیم لاکتیک (SIFB<sub>1,LaAb</sub>), (۳) دانه جو بخار پز - تشعشعی مادون قرمز - پولکی عمل آوری شده با امونیم لاکتیک و اسید لاکتیک (SIFB<sub>1,LaAp</sub>), (۴) دانه جو بخار پز - تشعشعی مادون قرمز - پولکی عمل آوری شده با امونیم لاکتیک و اسید لاکتیک (SIFB<sub>1,LaAp</sub>), (۵) دانه جو بخار پز - تشعشعی مادون قرمز - پولکی عمل آوری شده با امونیم لاکتیک و اسید لاکتیک (SIFB<sub>1,LaAb</sub>), (۶) دانه جو بخار پز - تشعشعی مادون قرمز - پولکی عمل آوری شده با امونیم لاکتیک و اسید لاکتیک (SIFB<sub>1,LaAp</sub>), (۷) دانه جو بخار پز - تشعشعی مادون قرمز - پولکی عمل آوری شده با امونیم لاکتیک و اسید لاکتیک (SIFB<sub>1,LaAb</sub>).

ردوکس، منعکس کننده عدم وجود اکسیژن و قدرت کاهندگی قوی محیط اکسیژن است (Huang et al., 2022). پتانسیل ردوکس مایع شکمبه در کنترل فعالیت‌های آنزیمی ریزجانداران شکمبه نقش دارد (Dijkstra et al., 2020). بر طبق گزارش تورس تینسون و همکاران (Thorsteinsson et al., 2023) و نیز ریت من و همکاران (Rietmann et al., 2023) بین pH شکمبه و مقدار پتانسیل ردوکس شکمبه همبستگی منفی وجود دارد.

### نتیجه‌گیری کلی

در این آزمایش، از عصاره ریشه چوبک (غنی از ساپونین) و بی‌کربنات آمونیوم همراه با اسید لاکتیک استفاده شد. به دنبال عمل آوری شیمیایی، فرآوری فیزیکی با روش بخارپز- امواج مادون قرمز- پولکی انجام شد. نتایج نشان داد که مصرف ماده خشک، تولید شیر، شیر تصحیح شده براساس انرژی و نیز تصحیح شده براساس ۳/۵ درصد چربی تحت تأثیر تیمارهای آزمایشی قرار نگرفتند. عمل آوری‌های شیمیایی سبب افزایش درصد چربی، پروتئین، مواد جامد و نیتروژن اورهای شیر شد. نیتروژن اورهای خون و پروتئین کل سرم در ساعت‌های متفاوت پس از خوراک‌دهی تحت تأثیر تیمارهای آزمایشی قرار نگرفتند. قابلیت هضم ظاهری ماده خشک، نشاسته و پروتئین در نتیجه عمل آوری شیمیایی دانه جو افزایش پیدا کرد. غلظت نیتروژن آمونیاکی شکمبه تحت تأثیر تیمارهای آزمایشی و زمان پس از مصرف خوراک قرار گرفت، از سویی دیگر، pH و پتانسیل ردوکس مایع شکمبه تحت تأثیر تیمارها قرار نگرفتند. انجام همزمان هر دو نوع فرآوری روی دانه جو به‌عنوان یک روش جدید باعث بهبود ترکیب شیر و قابلیت هضم ظاهری مواد مغذی در گاوهای مصرف کننده این نوع از دانه‌ها شود.

در ارتباط با عمل آوری شیمیایی با اسید لاکتیک و تأثیر آن بر pH شکمبه‌ای، بیان شده است که مقدار آن با غلظت اسیدهای چرب فرار شکمبه‌ای ارتباط معکوس دارد (Iqbal et al., 2012). بیان شده است که یکی از دلایل تغییر pH شکمبه‌ای، تغییر در غلظت مواد مغذی است که این امر می‌تواند بر pH شکمبه‌ای اثر بگذارد (Humer et al., 2015). تغییر در فعالیت ریزجانداران شکمبه از دیگر عوامل تغییر pH به هنگام فرآوری با اسید لاکتیک است، چرا که باعث افزایش مدت زمان تأخیر (Lag time) فعالیت ریزجانداران شده که این امر بر فرآیند تجزیه پذیری مواد مغذی به ویژه نشاسته تأثیر گذاشته و می‌تواند از افت ناگهانی pH جلوگیری کند (Deckardt et al., 2014). یک احتمال دیگر برای افزایش pH در زمان عمل آوری با اسید لاکتیک، افزایش فعالیت باکتری‌های مصرف کننده لاکتات و کاهش غلظت آن در مایع شکمبه است (Mao et al., 2008). ناصرالاسلامی و همکاران (Naseroleslami et al., 2022) بیان کردند که عمل آوری شیمیایی دانه جو با ترکیبات گیاهی و مواد آلكالینی، غلظت نیتروژن آمونیاکی شکمبه را نسبت به دانه‌های جو خام افزایش می‌دهد، که نتایج این پژوهش، آن را تأیید می‌کند. آن‌ها کاهش تجزیه پذیری نشاسته در شکمبه و عدم تأمین انرژی کافی برای ریزجانداران برای جذب آمونیاک را، علت تفاوت غلظت نیتروژن آمونیاکی شکمبه بیان کردند. عمل آوری شیمیایی دانه ذرت با آمونیاک هیچ تأثیری بر غلظت نیتروژن آمونیاکی در شکمبه نداشت، که نتایج آزمایش حاضر، آن را تأیید نمی‌کند (Huang et al., 2022). عمل آوری با بی‌کربنات آمونیوم احتمالاً نیتروژن را برای ریزجانداران شکمبه فراهم کرده و در نتیجه، غلظت نیتروژن آمونیاکی افزایش پیدا می‌کند.

پتانسیل ردوکس مایع شکمبه در ناحیه بین ۵۰- تا ۴۴۰- گزارش شده است (Friedman et al., 2017). مقادیر منفی پتانسیل

### References

- Albornoz, R. I., & Allen, M. S. (2018). Highly fermentable starch at different diet starch concentrations decreased feed intake and milk yield of cows in the early postpartum period. *Journal of Dairy Science*, 101(10), 8902-8915. <https://doi.org/10.3168/jds.2018-14843>
- Belanche, A., Martín-García, I., Jiménez, E., Jonsson, N. N., & Yañez-Ruiz, D. R. (2021). A novel ammoniation treatment of barley as a strategy to optimize rumen pH, feed degradability and microbial protein synthesis in sheep. *Journal of the Science of Food and Agriculture*, 101(13), 5541-5549. <https://doi.org/10.1002/jsfa.11205>
- Bertoni, G., Trevisi, E., Han, X., & Bionaz, M. (2008). Effects of inflammatory conditions on liver activity in puerperium period and consequences for performance in dairy cows. *Journal of Dairy Science*, 91(9), 3300-3310. <https://doi.org/10.3168/jds.2008-0995>
- Brzóška, F. (2005). Effect of soybean meal protected with Ca salts of fatty acids on cows' yield, protein and fat components in milk and blood. *Annals of Animal Science*, 5, 111-123.
- Chen, X., Shao, S., Chen, M., Hou, C., Yu, X., & Xiong, F. (2020). Morphology and physicochemical properties of starch from waxy and non-waxy barley. *Starch-Stärke*, 72(5-6), 1900206. <https://doi.org/10.1002/star.201900206>
- Dabestani, M., Yeganehzad, S., & Miller, R. (2021). A natural source of saponin: Comprehensive study on

- interfacial properties of Chubak (*Acanthophyllum Glandulosum*) root extract and related saponins. *Colloids and Surfaces A: Physicochemical and Engineering Aspects*, 630, 127594 .  
<https://doi.org/10.1016/j.colsurfa.2021.127594>
7. Deckardt, K., Khiaosa-ard, R., Grausgruber, H., & Zebeli, Q. (2014). Evaluation of various chemical and thermal feed processing methods for their potential to enhance resistant starch content in barley grain. *Starch-Stärke*, 66(5-6), 558-565. <https://doi.org/10.1002/star.201300200>
  8. Dehghan-Banadaky, M., Corbett, R., & Oba, M. (2007). Effects of barley grain processing on productivity of cattle. *Animal Feed Science and Technology*, 137(1-2), 1-24. <https://doi.org/10.1016/j.anifeedsci.2006.11.021>
  9. Dijkstra, J., Van Gastelen, S., Dieho, K., Nichols, K., & Bannink, A. (2020). Rumen sensors: Data and interpretation for key rumen metabolic processes. *Animal*, 14(S1), s176-s186 .  
<https://doi.org/10.1017/s1751731119003112>
  10. Erdman, R. A. 2011. Monitoring feed efficiency in dairy cows using fat-corrected milk per unit dry matter intake. Pages 69–79 in Proc. Mid-Atlantic Nutrition Conference, University of Maryland, College Park. Mid-Atlantic Feed Industry Council.
  11. Ebrahimi, S. H. (2020). Feeding complete concentrate pellets containing ground grains or blend of steam-flaked grains and other concentrate ingredients in ruminant nutrition—A review. *Annals of Animal Science*, 20(1), 11-28 .  
<https://doi.org/10.2478/aoas-2019-0055>
  12. Friedman, N., Shriker, E., Gold, B., Durman, T., Zarecki, R., Ruppin, E., & Mizrahi, I. (2017). Diet-induced changes of redox potential underlie compositional shifts in the rumen archaeal community. *Environmental Microbiology*, 19(1), 174-184. <https://doi.org/10.1111/1462-2920.13551>
  13. Gruber, L., Khol-Parisini, A., Humer, E., Abdel-Raheem, S. M., & Zebeli, Q. (2017). Long-term influence of feeding barley treated with lactic acid and heat on performance and energy balance in dairy cows. *Archives of Animal Nutrition*, 71(1), 54-66. <https://doi.org/10.1080/1745039X.2016.1253226>
  14. Harder, H., Khol-Parisini, A., & Zebeli, Q. (2015). Modulation of resistant starch and nutrient composition of barley grain using organic acids and thermal cycling treatments. *Starch-Stärke*, 67(7-8), 654-662.  
<https://doi.org/10.1002/star.201500040>
  15. Hart, K., Yáñez-Ruiz, D. R., Duval, S., McEwan, N., & Newbold, C. (2008). Plant extracts to manipulate rumen fermentation. *Animal Feed Science and Technology*, 147(1-3), 8-35.  
<https://doi.org/10.1016/j.anifeedsci.2007.09.007>
  16. Hristov, A., Zaman, S., VanderPol, M., Szasz, P., Huber, K., & Greer, D. (2007). Effect of a saponin-based surfactant and aging time on ruminal degradability of flaked corn grain dry matter and starch. *Journal of Animal Science*, 85(6), 1459-1466. <https://doi.org/10.2527/jas.2006-467>
  17. Huang, Y., Jones, R., Compiani, R., Grossi, S., Johnson, P., Eckersall, P., Rossi, C. S., & Jonsson, N. (2022). Effects of ammonia-treated maize on growth performance of beef cattle. *Animal Feed Science and Technology*, 290, 11535 .  
<https://doi.org/10.1016/j.anifeedsci.2022.115350>
  18. Huang, Y., Marden, J., Julien, C., & Bayourthe, C. (2018). Redox potential: An intrinsic parameter of the rumen environment. *Journal of Animal Physiology and Animal Nutrition*, 102(2), 393-402. .  
<https://doi.org/10.1111/jpn.12855>
  19. Humer, E., Khol-Parisini, A., Gruber, L., Gasteiner, J., Abdel-Raheem, S. M., & Zebeli, Q. (2015). Long-term reticuloruminal pH dynamics and markers of liver health in early-lactating cows of various parities fed diets differing in grain processing. *Journal of Dairy Science*, 98(9), 6433-6448. <https://doi.org/10.3168/jds.2015-9522>
  20. Humer, E., & Zebeli, Q. (2017). Grains in ruminant feeding and potentials to enhance their nutritive and health value by chemical processing. *Animal Feed Science and Technology*, 226, 133-151 .  
<https://doi.org/10.1016/j.anifeedsci.2017.02.005>
  21. Iqbal, S., Terrill, S., Zebeli, Q., Mazzolari, A., Dunn, S., Yang, W., & Ametaj, B. (2012). Treating barley grain with lactic acid and heat prevented sub-acute ruminal acidosis and increased milk fat content in dairy cows. *Animal Feed Science and Technology*, 172(3-4), 141-149. <https://doi.org/10.1016/j.anifeedsci.2011.12.024>
  22. Iqbal, S., Zebeli, Q., Mazzolari, A., Bertoni, G., Dunn, S., Yang, W., & Ametaj, B. (2009). Feeding barley grain steeped in lactic acid modulates rumen fermentation patterns and increases milk fat content in dairy cows. *Journal of Dairy Science*, 92(12), 6023-6032. <https://doi.org/10.3168/jds.2009-2380>
  23. Jacob, J., & Pescatore, A. (2012). Using barley in poultry diets—A review. *Journal of Applied Poultry Research*,

- 21(4), 915-940. <https://doi.org/10.3382/japr.2012-00557>
24. Kheirandish, P., Mesgaran, M. D., Javadmanesh, A., Mohri, M., Khafipour, E., & Vakili, S. A. (2022). Effect of processed barley grain on in vitro rumen fermentation and fate of nitrogen metabolism. [https://ijas.rasht.iau.ir/article\\_697486\\_46aff2394cff507ae15ef4141bab1c7.pdf](https://ijas.rasht.iau.ir/article_697486_46aff2394cff507ae15ef4141bab1c7.pdf)
  25. Khosrow Shahi, S., Didar, Z., Hesarinejad, M. A., & Vazifedoost, M. (2021). Optimized pulsed electric field-assisted extraction of biosurfactants from Chubak (*Acanthophyllum squarrosum*) root and application in ice cream. *Journal of the Science of Food and Agriculture*, 101(9), 3693-3706. <https://doi.org/10.1002/jsfa.11000>
  26. Kohn, R., Dinneen, M., & Russek-Cohen, E. (2005). Using blood urea nitrogen to predict nitrogen excretion and efficiency of nitrogen utilization in cattle, sheep, goats, horses, pigs, and rats. *Journal of Animal Science*, 83(4), 879-889. <https://doi.org/10.2527/2005.834879x>
  27. Malekjahani, F., Mesgaran, M. D., Vakili, A., Sadeghi, M., & Yu, P. (2017). A novel approach to determine synchronization index of lactating dairy cow diets with minimal sensitivity to random variations. *Animal Feed Science and Technology*, 225, 143-156. <https://doi.org/10.1016/j.anifeedsci.2016.11.010>
  28. Malekhhahi, M., Naserian, A. A., Rahimi, A., Bazgir, A., Vyas, D., & Razzaghi, A. (2021). Effects of ground, steam-flaked, and super-conditioned corn grain on production performance and total-tract digestibility in dairy cows. *Journal of Dairy Science*, 104(6), 6756-6767. <https://doi.org/10.3168/jds.2020-19202>
  29. Mao, S., Zhang, G., & Zhu, W. (2008). Effect of disodium fumarate on ruminal metabolism and rumen bacterial communities as revealed by denaturing gradient gel electrophoresis analysis of 16S ribosomal DNA. *Animal Feed Science and Technology*, 140(3-4), 293-306. <https://doi.org/10.1016/j.anifeedsci.2007.04.001>
  30. Naseroleslami, R., Danesh Mesgaran, M., Tahmasbi, A., Vakili, A., & Danesh Mesgaran, S. (2022). Diets containing processed barley grain as a potential rumen bypass starch source enhance productive responses of lactating Holstein dairy cows. *Journal of Animal Physiology and Animal Nutrition*, 106(3), 506-516. <https://doi.org/10.1111/jpn.13635>
  31. Naseroleslami, R., Mesgaran, M. D., Tahmasbi, A., Vakili, S. A., & Ebrahimi, S. H. (2018). Influence of barley grain treated with alkaline compounds or organic extracts on ex vivo site and extent of digestion of starch. *Asian-Australasian Journal of Animal Sciences*, 31(2), 230. <https://doi.org/10.5713/ajas.17.0212>
  32. Nocek, J. E., & Tamminga, S. (1991). Site of digestion of starch in the gastrointestinal tract of dairy cows and its effect on milk yield and composition. *Journal of Dairy Science*, 74(10), 3598-3629. [https://doi.org/10.3168/jds.S0022-0302\(91\)78552-4](https://doi.org/10.3168/jds.S0022-0302(91)78552-4)
  33. Orth, R. 1992. Sample day and lactation report. DHIA 200 Fact Sheet A-2. Mid-states DRPC.
  34. Östman, E. M., Nilsson, M., Elmståhl, H. L., Molin, G., & Björck, I. (2002). On the effect of lactic acid on blood glucose and insulin responses to cereal products: mechanistic studies in healthy subjects and *in vitro*. *Journal of Cereal Science*, 36(3), 339-346. <https://doi.org/10.1006/jcrs.2002.0469>
  35. Piccioli-Cappelli, F., Loor, J., Seal, C., Minuti, A., & Trevisi, E. (2014). Effect of dietary starch level and high rumen-undegradable protein on endocrine-metabolic status, milk yield, and milk composition in dairy cows during early and late lactation. *Journal of Dairy Science*, 97(12), 7788-7803. <https://doi.org/10.3168/jds.2014-8336>
  36. Plascencia, A., González-Vizcarra, V. M., & Zinn, R. A. (2018). Comparative effects of grain source on digestion characteristics of finishing diets for feedlot cattle: Steam-flaked corn, barley, wheat, and oats. *Canadian Journal of Animal Science*, 98(4), 794-800. <https://doi.org/10.1139/cjas-2018-0018>
  37. Rietmann, S. J., Gäbel, G., & Dengler, F. (2023). The intraruminal redox potential is stabilised by opposing influences during fermentation. *Journal of Animal Physiology and Animal Nutrition*, 107(1), 53-61. <https://doi.org/10.1111/jpn.13697>
  38. Røjen, B. A., & Kristensen, N. B. (2012). Effect of time duration of ruminal urea infusions on ruminal ammonia concentrations and portal-drained visceral extraction of arterial urea-N in lactating Holstein cows. *Journal of Dairy Science*, 95(3), 1395-1409. <https://doi.org/10.3168/jds.2011-4475>
  39. Rose, R., Rose, C. L., Omi, S. K., Forry, K. R., Durall, D. M., & Bigg, W. L. (1991). Starch determination by perchloric acid vs enzymes: evaluating the accuracy and precision of six colorimetric methods. *Journal of Agricultural and Food Chemistry*, 39(1), 2-11. <https://doi.org/10.1021/jf00001a001>
  40. Safaei, K., Ghorbani, G., Alikhani, M., Sadeghi-Sefidmazgi, A., & Yang, W. (2017). Response of lactating dairy cows to degree of steam-flaked barley grain in low-forage diets. *Journal of Animal Physiology and Animal Nutrition*, 101(5), e87-e97. <https://doi.org/10.1111/jpn.12565>
  41. Shahri, A. K., Mesgaran, M. D., & Zahmatkesh, D. (2019). Effect of feeding of various types of soybean meal and

- differently processed barley grain on performance of high producing lactating Holstein dairy cows .
42. Shen, J., Chai, Z., Song, L., Liu, J., & Wu, Y. (2012). Insertion depth of oral stomach tubes may affect the fermentation parameters of ruminal fluid collected in dairy cows. *Journal of Dairy Science*, 95(10), 5978-5984 .  
<https://doi.org/10.3168/jds.2012-5499>
  43. Tang, S. X., Dang, T., Tan, Z. L., Wu, D. Q., Yan, Q. X., & Kang, J. H. (2021). Effects of nonionic surfactant source and surface tension on in vitro fermentation characteristics of cereal straws. *Animal Feed Science and Technology*, 276, 114912. <https://doi.org/10.1016/j.anifeedsci.2021.114912>
  44. Thorsteinsson, M., Maigaard, M., Lund, P., Weisbjerg, M. R., & Nielsen, M. O. (2023). Effect of fumaric acid in combination with *Asparagopsis taxiformis* or nitrate on in vitro gas production, pH, and redox potential. *JDS Communications*, 4(5), 335-339. <https://doi.org/10.3168/jdsc.2022-0259>
  45. Van Keulen, J., & Young, B. (1977). Evaluation of acid-insoluble ash as a natural marker in ruminant digestibility studies. *Journal of Animal Science*, 44(2), 282-287. <https://doi.org/10.2527/jas1977.442282x>
  46. Van Soest, P. v., Robertson, J. B., & Lewis, B. A. (1991). Methods for dietary fiber, neutral detergent fiber, and nonstarch polysaccharides in relation to animal nutrition. *Journal of Dairy Science*, 74(10), 3583-3597. [https://doi.org/10.3168/jds.S0022-0302\(91\)78551-2](https://doi.org/10.3168/jds.S0022-0302(91)78551-2)
  47. Wanapat, M., Cherdthong, A., Pakdee, P., & Wanapat, S. (2008). Manipulation of rumen ecology by dietary lemongrass (*Cymbopogon citratus* Stapf.) powder supplementation. *Journal of Animal Science*, 86(12), 3497-3503. <https://doi.org/10.2527/jas.2008-0885>
  48. Weatherburn, M. W. (1967). Phenol-hypochlorite reaction for determination of ammonia. *Analytical Chemistry*, 39(8), 971-974. <https://doi.org/10.1021/ac60252a045>
  49. Zebeli, Q., Dijkstra, J., Tafaj, M., Steingass, H., Ametaj, B., & Drochner, W. (2008). Modeling the adequacy of dietary fiber in dairy cows based on the responses of ruminal pH and milk fat production to composition of the diet. *Journal of Dairy Science*, 91(5), 2046-2066. <https://doi.org/10.3168/jds.2007-0572>
  50. Zhong, R., Li, J., Gao, Y., Tan, Z., & Ren, G. (2008). Effects of substitution of different levels of steam-flaked corn for finely ground corn on lactation and digestion in early lactation dairy cows. *Journal of Dairy Science*, 91(10), 3931-3937. <https://doi.org/10.3168/jds.2007-0957>